Comune di Riccione

Provincia di Rimini



SETTORE URBANISTICA - EDILIZIA PRIVATA - AMBIENTE

PIANO PARTICOLAREGGIATO DELL'ARENILE -IV° VARIANTE 2015-

ELABORATO N°20 TER

2[^] INTEGRAZIONE ALLO STUDIO GEOLOGICO

Maggio 2015

ADOZIONE: APPROVAZIONE:
Delibera di G.C. n. 274 del 01/08/2013 Delibera di G.C. n. del

II Sindaco: Renata Tosi

L'Assessore Urbanistica: Roberto Cesarini

Il Segretario Generale: Giuseppina Massara

Il Dirigente: Daniele Salvatori

COORDINATORE E PROGETTISTA:

COLLABORATORI:

Arch. Mirna Bertuccini Arch. Annalisa Schiano Segr. Amm. Loredana Raffaelli

SUPPORTO INFORMATICO:

Ing. Giorgio Ovani



COMUNE DI RICCIONE

(PROVINCIA DI RIMINI)

INDAGINI GEOLOGICHE

GEOGNOSTICHE E SISMICHE CONNESSE ALLA IV VARIANTE DEL PIANO DELL'ARENILE.

COMMITTENTE: COMUNE DI RICCIONE

Dott. Geol. Giancarlo Faina

Montefiore Conca, 24.06.2013

Via Gemmano, 19 – Tel. 0541/980079 – 47834 Montefiore Conca (RN)

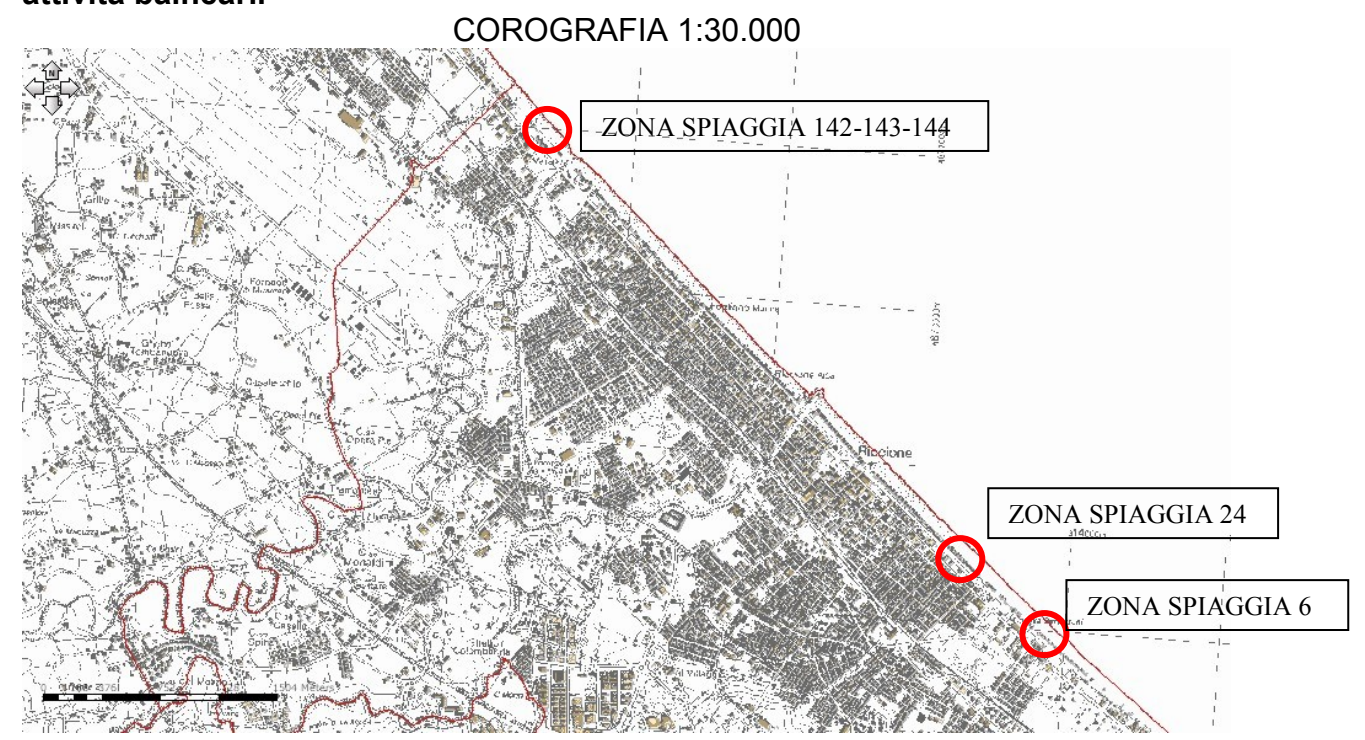
INDICE

PREMESA - corografia GEOLOGIA E GEOMORFOLOGIA COEFFICIENTE DI AMPLIFICAZIONE TOPOGRAFIC PERICOLOSITA' DI BASE SISMICA	pag. 2 pag. 2 pag. 4 pag. 4	
ZONA DI SPIAGGIA	A LIBERA N.6	
GEOLOGIA E GEOMORFOLOGIA PLANIMETRIA ZONA 6 SPIAGGIA DI RICCIONE STRATIGRAFIA E IDROGRAFIA Accelerazione sismica Calcolo Vs ₃₀ e assegnazione categoria La doppia risonanza LIQUEFAZIONE DEI TERRENI SABBIOSI PRESENTI VERIFICA CON IL PIANO ASSETTO IDROGEOLOGIO ALLEGATI ZONA SPIAGGIA N.6:		pag. 6 pag. 7 pag. 8 pag. 8 pag. 9 pag.10 pag.11 pag.15
Sondaggio penetrometrico statico CPT n.4 Litografia sondaggio penetrometrico statico CPT n.4 Sondaggio penetrometrico statico CPT n.5 Litografia sondaggio penetrometrico statico CPT n.5 Analisi granulometrica campione sabbie su CPT n.4 Sezione geologica	ALLEGATO n.1a ALLEGATO n.2a ALLEGATO n.3a ALLEGATO n.4a ALLEGATO n.5a ALLEGATO n.6a	pag.16 pag.17 pag.18 pag.19 pag.20 pag.21
ZONA DI SPIAGGIA GEOLOGIA E GEOMORFOLOGIA PLANIMETRIA ZONA 24 SPIAGGIA DI RICCIONE STRATIGRAFIA E IDROGRAFIA Accelerazione sismica Calcolo Vs ₃₀ e assegnazione categoria La doppia risonanza LIQUEFAZIONE DEI TERRENI SABBIOSI PRESENTI VERIFICA CON IL PIANO ASSETTO IDROGEOLOGIO ALLEGATI ZONA SPIAGGIA N.24: Sondaggio penetrometrico statico CPT n.3 Litografia sondaggio penetrometrico statico CPT n.3		pag.22 pag.23 pag.24 pag.24 pag.25 pag.26 pag.27 pag.31 pag.32 pag.33
Analisi granulometrica sabbie su CPT n.3 Sezione geologica	ALLEGATO n.3b ALLEGATO n.4b	pag.34 pag.35
ZONA DI SPIAGGIA LIBE	ERA N.142-143-144	20.00
GEOLOGIA E GEOMORFOLOGIA PLANIMETRIA ZONA 142-143-144 SPIAGGIA DI RICI STRATIGRAFIA E IDROGRAFIA Accelerazione sismica Calcolo Vs ₃₀ e assegnazione categoria La doppia risonanza LIQUEFAZIONE DEI TERRENI SABBIOSI PRESENTI VERIFICA CON IL PIANO ASSETTO IDROGEOLOGIO ALLEGATI ZONA SPIAGGIA N.142-143-144:	CO (P.A.I.)	pag.36 pag.37 pag.38 pag.38 pag.41 pag.41 pag.41
Sondaggio penetrometrico statico CPT n.1 Litografia sondaggio penetrometrico statico CPT n.1 Sondaggio penetrometrico statico CPT n.2 Litografia sondaggio penetrometrico statico CPT n.2 Analisi granulometrica sabbie su CPT n.1 Sezione geologica	ALLEGATO n.1c ALLEGATO n.2c ALLEGATO n.3c ALLEGATO n.4c ALLEGATO n.5c ALLEGATO n.6c	pag.46 pag.47 pag.48 pag.49 pag.50 pag.51
CONCLUSIONI		pag.52

PREMESSA

Per incarico del Comune di Riccione sono state effettuata delle indagini geologiche, geognostiche e sismiche connesse alla IV Variante del Piano dell'arenile.

Lo scopo di questa relazione è di inserire tre aree della spiaggia nel piano dell'arenile dove è previsto la costruzione di capanni smontabili a servizio di attività balneari.



Per ognuna delle aree sono previste le seguenti indagini geologiche:

GEOLOGIA E GEOMORFOLOGIA STRATIGRAFIA e IDROGRAFIA VALUTAZIONE PERICOLISITA' SISMICA DI BASE VALUTAZIONE ACCELERAZIONE SISMICA CALCOLO VS₃₀ e ASSEGNAZIONE CATEGORIA (D.M. 14/01/08) VERIFICA DELLA LIQUEFAZIONE VERIFICA CON CARTOGRAFIA P.A.I

Sono stati eseguiti: cinque sondaggi con penetrometro statico CPT, tre prelievi di campioni di sabbie su cui sono state eseguite le analisi granulometriche e tre misure di microtremore sismico (tromografo) per la valutazione delle Vs₃₀ e della pericolosità sismica di base.

GEOLOGIA E GEOMORFOLOGIA

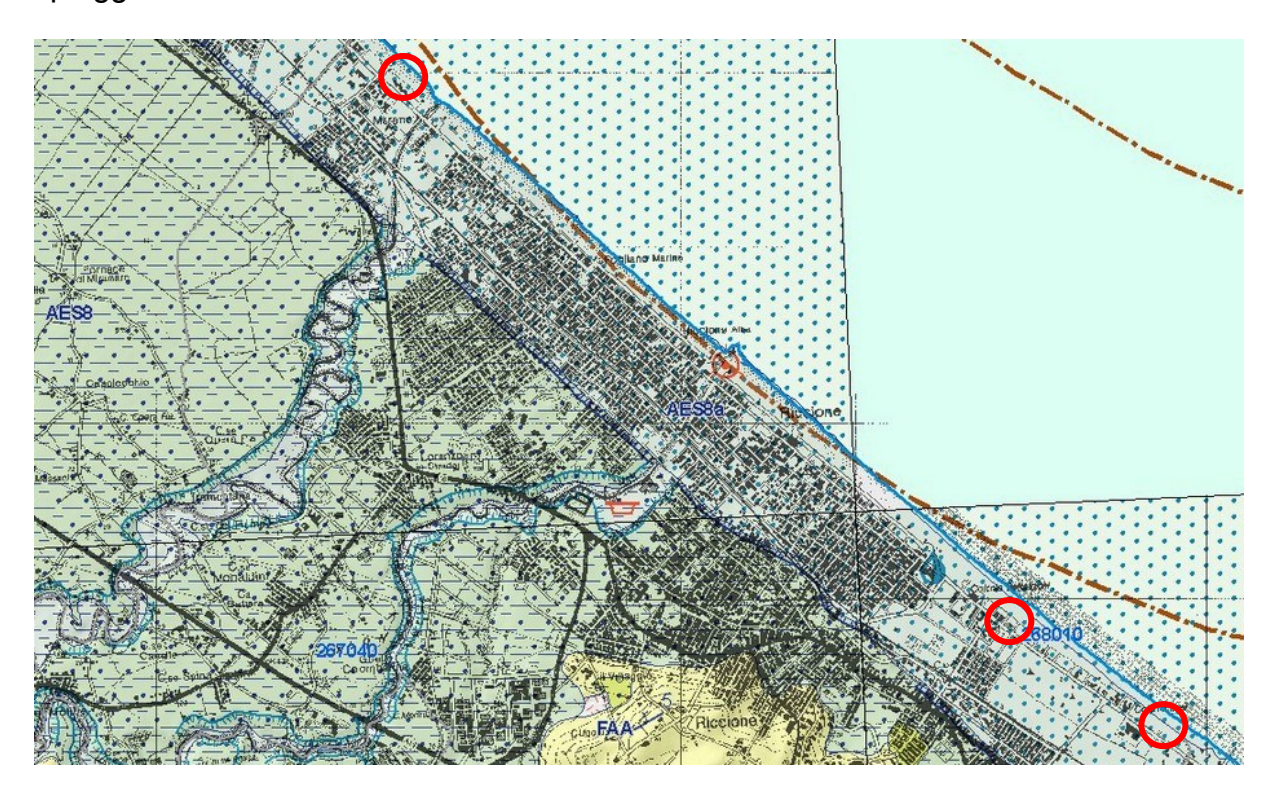
L'area in studio è rappresentata nella Carta Geologica d'Italia 1:100.000 (nel foglio 256 denominato Rimini) e nella Carta Geologica dell'Emilia Romagna nelle sezioni 256160 denominata RICCIONE MARINA e 268010 denominata MISANO ADRIATICO. Le aree in oggetto sono rappresentate **dall'Unità di Modena** come appartenente alla successione Neogenica Quaternaria del margine Appenninico-Padano, costituita da sabbie prevalentemente fini e medie, con abbondanti bioclasti

di molluschi, in strati da sottili a medi, generalmente amalgamati, localmente alternati a limi sabbiosi.

Depositi di cordone litorale. Formano un corpo a geometria nastriforme con spessore da 4 a 12 metri che aumenta verso mare, organizzato in una sequenza negativa. Localmente include depositi grossolani di barra di foce e spiaggia ghiaiosa.

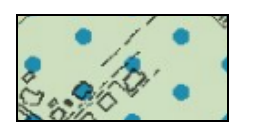
A monte della ferrovia, si trova la vecchia paleofalesia che delimita a monte le argille dei terrazzi di origine alluvionale denominate Subsintema di Ravenna (AES8) dai depositi sabbiosi marini dove si trova l'area in oggetto.

Morfologicamente la zone in studio risultano pianeggianti essendo direttamente sulla spiaggia.





Area in studio



UNITA DI MODENA Ghiaie, sabbie, limi ed argille di cordone litorale (Età: Olocene) AES8a



SUBSINTEMA DI RAVENNA Depositi alluvionali (Olocene) AES8



Argille azzurre FAA (Piacenziano - Gelasiano)

COEFFICIENTE DI AMPLIFICAZIONE TOPOGRAFICA

In base alle condizioni topografiche dei siti in oggetto, che si trova sulla spiaggia, il coefficiente di amplificazione topografica ST=1 con categoria topografica T1 secondo la tabella D.M. 14/01/08 in cui T1= superficie pianeggiante o pendii e rilievi isolati con inclinazione media ≤15°.

PERICOLOSITA' DI BASE SISMICA

Per ogni area verrà eseguita le analisi per pericolosita' di base sismica.

Con lo studio della pericolosità sismica si intende valutare il comportamento del volume di terreno sul quale è costruito l'edifico in caso di arrivo di onde sismiche significativamente energetiche (diverse dal rumore sismico). Questa valutazione consente di poter costruire gli edifici secondo determinati criteri che rendano la struttura immune dai cosiddetti "effetti di sito", quegli effetti che tendono ad amplificare o l'energia stessa delle onde o la gravità dei danni dovuti al loro passaggio. Si tratterà quindi di valutare principalmente:

- L'accelerazione sismica delle onde secondo la classificazione fornita dall'INGV;
- Vs₃₀ assegnando il terreno ad una categoria in funzione del risultato ottenuto;
- Il problema della liquefazione nel caso siano presenti sabbie.

Il 20 Marzo 2003 è stata prolungata l'ordinanza n. 3274 della Presidenza del Consiglio dei Ministri "Primi elementi in materia di criteri generali per la classificazione sismica del territorio nazionale e normative tecniche per le costruzioni in zona sismica" che fissa le regole per l'identificazione dei Comuni sismici e definisce le norme tecniche costruttive per la progettazioni di edifici e per le opere di fondazione.

Le norme del D.M. 14/09/2005, entrate in vigore il 23 Ottobre 2005, includono tra le referenze tecniche essenziali anche l'ordinanza n. 3274/2003 e s.m.i.

La nuova è stata recepita dal Testo Unico sulle Costruzioni.

Il Comune di Riccione ricade nella zona di Il grado che corrisponde alla S=9 del D.M. 16 Gennaio 1996.

L'ordinanza della Presidenza del Consiglio dei Ministri n. 3274 contempla, per la definizione dell'azione sismica di progetto, cinque categorie principali di terreno di fondazione, individuate dai valori della velocità media (Vs30) delle onde di taglio dei primi 30 metri di sottosuolo o della resistenza penetrometrica Nspt o della coesione non drenata Cu. La classificazione viene quindi effettuata principalmente sulla base del valore Vs30 valutato dalla seguente espressione:

$$Vs_{30} = 30/\Sigma(hi/Vi)$$

Con hi e Vi rispettivamente spessore e velocità dello strato esimo degli N strati dei primi 30 metri di sottosuolo.

Le categorie definite sono:

- **A** Formazioni litoidi e suoli omogenei molto rigidi caratterizzati da Valori Vs₃₀ superiori a 800 m/s, comprendenti eventuali strati di alterazione superficiale di spessore massimo pari a 5 metri.
- **B** Depositi di sabbie e ghiaie molto addensate o argille molto consistenti, con spessori di diverse decine di metri, caratterizzate da un graduale miglioramento delle proprietà meccaniche con la profondità e da valori di Vs₃₀ compresi tra 360 m/s e 800 m/s (ovvero resistenze penetrometrica Nspt > 50 o coesione non drenata Cu > 250 kPa).
- C Depositi di sabbie e ghiaie mediamente addensate o di argilla di media consistenza, con spessori variabili da diverse decine fino a centinaia di metri, caratterizzati da valori di Vs₃₀ compresi tra 180 m/s a 360 m/s (15 < Nspt < 50, 70 < Cu < 250kPa).
- **D** Depositi di terreni granulari da sciolti a poco addensati oppure coesivi da poco a medio consistenti, caratterizzati da valori di Vs₃₀ < 180 m/s (Nspt < 15, Cu <70 kPa).
- **E** Profili di terreno costituiti da strati superficiali alluvionali con valori di Vs₃₀ simili a quelli dei tipi C e D e spessori compresi tra 5 e 20 m, giacenti su un substrato di materiale più rigido con valori di Vs₃₀ > 800 m/s.

In aggiunta a queste categorie se ne definiscono altre due , per le quali sono richieste studi speciali per la definizione dell'azione sismica da considerare:

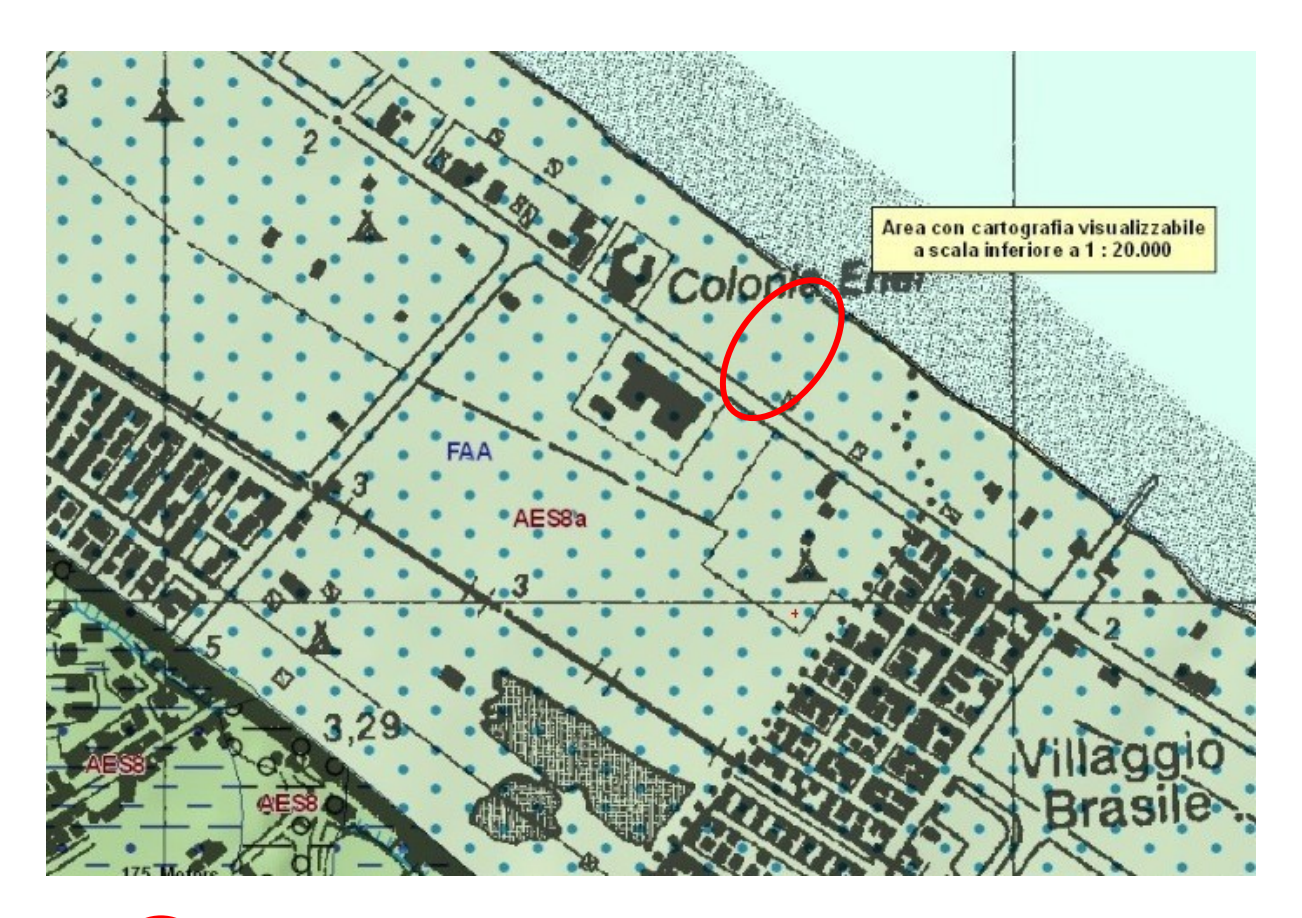
- S1 Depositi costituiti da, o che includono, uno strato almeno di 10 m di argille/limi di bassa consistenza, con elevato indice di plasticità (PI < 40) e contenuto di acqua, caratterizzati da valori di Vs_{30} < 100 m/s 10 < 20 kPa).
- **S2** Depositi di terreni soggetti a liquefazione, di argille sensitive, o di qualsiasi altra categoria di terreno non classificabile nei tipi precedenti.

ZONA DI SPIAGGIA LIBERA N.6

GEOLOGIA E GEOMORFOLOGIA

L'area in studio è rappresentata nella Carta Geologica d'Italia nella Carta Geologica dell'Emilia Romagna nelle sezioni 268010 denominata MISANO ADRIATICO. Le aree sono rappresentate dall'Unità di Modena.

CARTA GEOLOGICA EMILIA ROMAGNA - 1:10.000 SEZIONE 268010 "MISANO ADRIATICO"





Area in studio

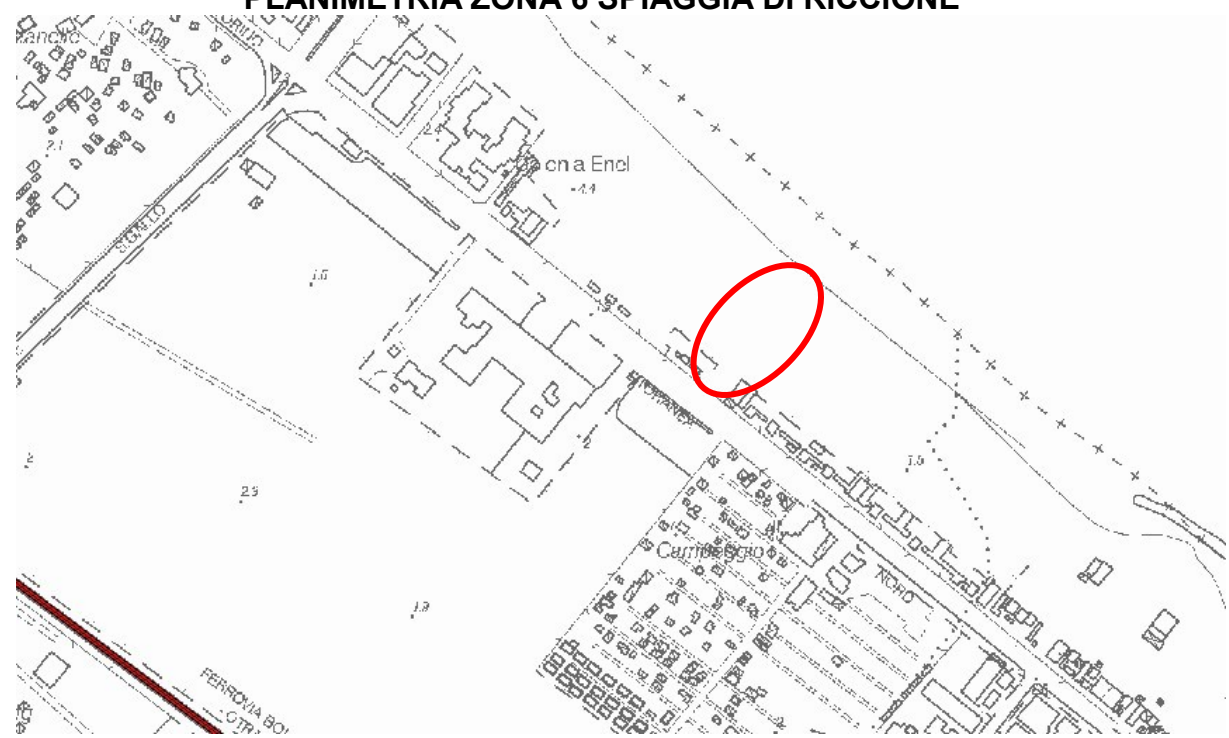


UNITA DI MODENA Ghiaie, sabbie, limi ed argille di cordone litorale (Età: Olocene) **AES8a**



SUBSINTEMA DI RAVENNA Depositi alluvionali (Olocene) AES8

PLANIMETRIA ZONA 6 SPIAGGIA DI RICCIONE



0

Zona n.6 spiaggia di Riccione in oggetto



Prove penetrometriche statiche CPT Prova sismica passiva (Tromografo) Sezione geologica

STRATIGRAFIA E IDROGRAFIA

Dall'elaborazione dei dati ottenuti dai sondaggi penetrometrici statici eseguiti si può ritenere la seguente stratigrafia:

SONDAGGIO STATICO N.4:

- dal p.c. a circa mt.-4.40:
 - SABBIE ADDENSATE E STRATIFICATE
- da circa mt. –4.40 a circa mt.-4.80: **ARGILLE**
- da circa mt. –4.80 a circa mt.-6.60: **SABBIE**;
- da circa mt. –6.60 a circa mt.-7.80: **ARGILLE MOLTO TENERE**;
- da circa mt. –7.80 a circa mt.-14.00: **ARGILLE**

SONDAGGIO STATICO N.5:

- dal p.c. a circa mt.-4.60:
- SABBIE ADDENSATE E STRATIFICATE
- da circa mt. –4.60 a circa mt.-4.80: **ARGILLE**
- da circa mt. –4.80 a circa mt.-6.80: **SABBIE**;
- da circa mt. –6.80 a circa mt.-8.00: **ARGILLE MOLTO TENERE**;
- da circa mt. –8.00 a circa mt.-13.00: **ARGILLE**

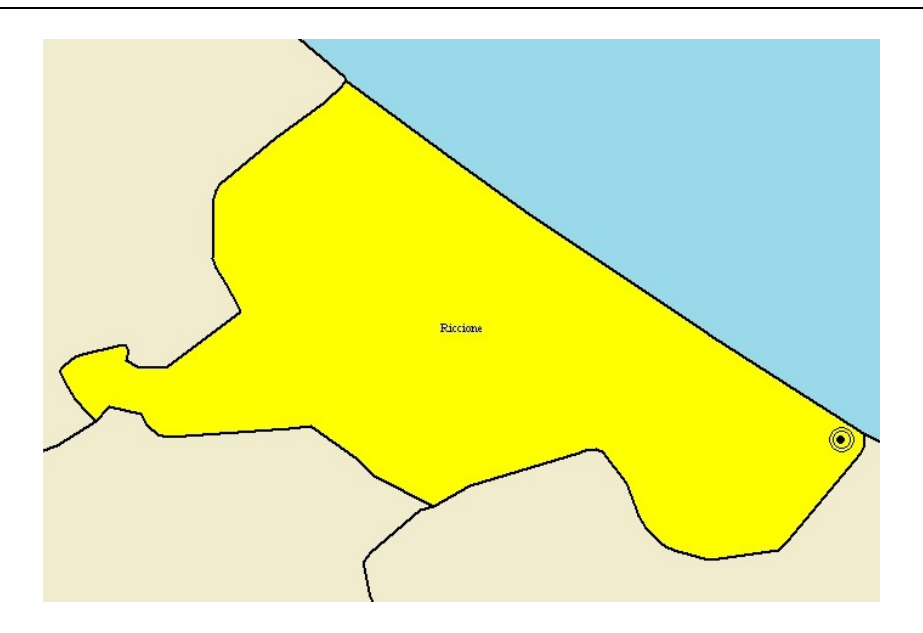
La falda freatica è stata rilevata ad una profondità di -1.00 e -0.70 metri dal piano campagna rispettivamente nella due prove penetrometriche eseguite.

Accelerazione sismica

L'Istituto Nazionale di Geofisica e Vulcanologia fornisce una mappatura di grande dettaglio di tutta Italia in cui viene fornita l'accelerazione delle onde sismiche (in intervalli) in funzione del tipo di terreno presente.

Consultando la mappa e conoscendo le coordinate del sito è possibile consultare i dati di dettaglio e ricava che il punto più vicino al sito di riferimento ha caratteristiche:

Comune di Riccione - Coordinate sito (Datum - ED50) : Longitudine = 12.6877° ; Latitudine = 43.9882° Punti della maglia: 18969 18970 19191 19192 Valori dei parametri ag, Fo, Tc* per i periodi di ritorno TR associati a ciascun Stato Limite STATO LIMITE TR [anni] Fo Tc* [s] ag [g] SLO 30 0.048 2.426 0.275 SLD 50 0.063 2.559 0.277 475 0.296 SLV 0.183 2.481 SLC 975 0.310 0.238 2.522



Calcolo Vs₃₀ e assegnazione categoria

Per il calcolo delle Vs₃₀ è stata effettuata una misura di rumore sismico in prossimità del sondaggio penetrometrico n. 4 effettuato. In particolare sono stati registrati 20 minuti di rumore lungo le direzioni N-S, E-W, U-D con frequenza di campionamento di 100 Hz. I dati sono stati poi analizzati con la tecnica HVRS secondo la quale si calcola il rapporto delle componenti orizzontali rispetto a quelle verticali per mettere in evidenza le frequenze di risonanza del terreno.

A partire dalla relazione di Nakamura:

$$v = \frac{V_S}{4h}$$

conoscendo la profondità delle interfacce degli strati (dalla prova penetro metrica n.4) e conoscendo le frequenze di risonanza (dalle prove sismiche passive) è possibile calcolare le Vs.

Di seguito è riportato il risultato della prova:

Sono presenti diversi picchi:

- I picchi 35.84 Hz che rappresenta il terreno superficiale;
- Il picco a 8.85 Hz che corrisponde allo strato a –6.60 metri di profondità;
- Il picco a 2.14 Hz che corrisponde allo strato a circa -25 metri di profondità;
- sotto i -25.00 metri le Vs si stabilizzano a circa 250 m/s come da bibliografia dei terreni limitrofi.

Per cui. riassumendo:

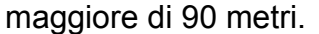
Le Vs fino a -6.60 metri sono stimate: 4 * 8.85 * 6.60 = 233m/s;

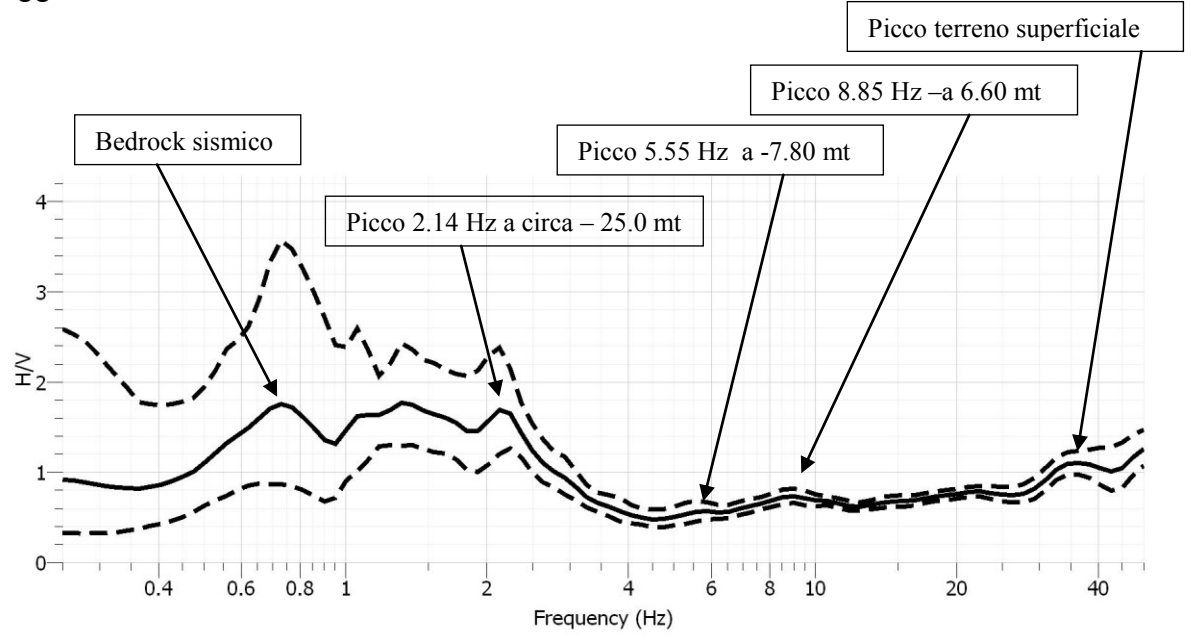
9

fino a -7.80 metri: 4 * 5.55 * 7.80 = 173 m/s;

fino a circa -25.00 metri: 4 * 2.14 * 25.00 = 214 m/s;

Sotto -25.00 metri gli strati si stabilizzano e le Vs viaggiano, da bibliografi, a 250 m/s; Il bedrock che si trova a una frequenza di 0.72 Hz è riscontrato ad una profondità maggiore di 00 metri





0.00 -6.60 metri	233 m/s
-6.60 – 7.80 metri	173 m/s
-7.80 – 25.00 metri	214m/s
-25.00 – 30.00 metri	250 m/s

Essendo le Vs₃₀ stimate 221 m/sec il terreno può essere classificato come appetente alla <u>categoria C.</u>

La doppia risonanza

Come si evidenzia dal diagramma H/V nella misura di sismica passiva, il terreno preso in esame presenta diversi picchi significativi con Hz variabili da circa 0.7 a circa 2.14; Questi picchi corrispondono a delle frequenze di risonanza, frequenza alle quale le onde sismiche che attraversano il terreno vengono amplificate.

E' fondamentale evitare che si verifichi il caso della doppia risonanza, caso in cui la frequenza di risonanza del terreno coincide con la frequenza di risonanza dell'edificio.

In caso di terremoto le conseguenze sarebbero piuttosto serie. Per gli edifici costruiti si può calcolare la frequenza di risonanza dell'edificio stesso facendo

delle misure si sismica passiva in sito. Dove non è stato costruito, se ne può ipotizzare l'ordine di grandezza tramite la relazione empirica:

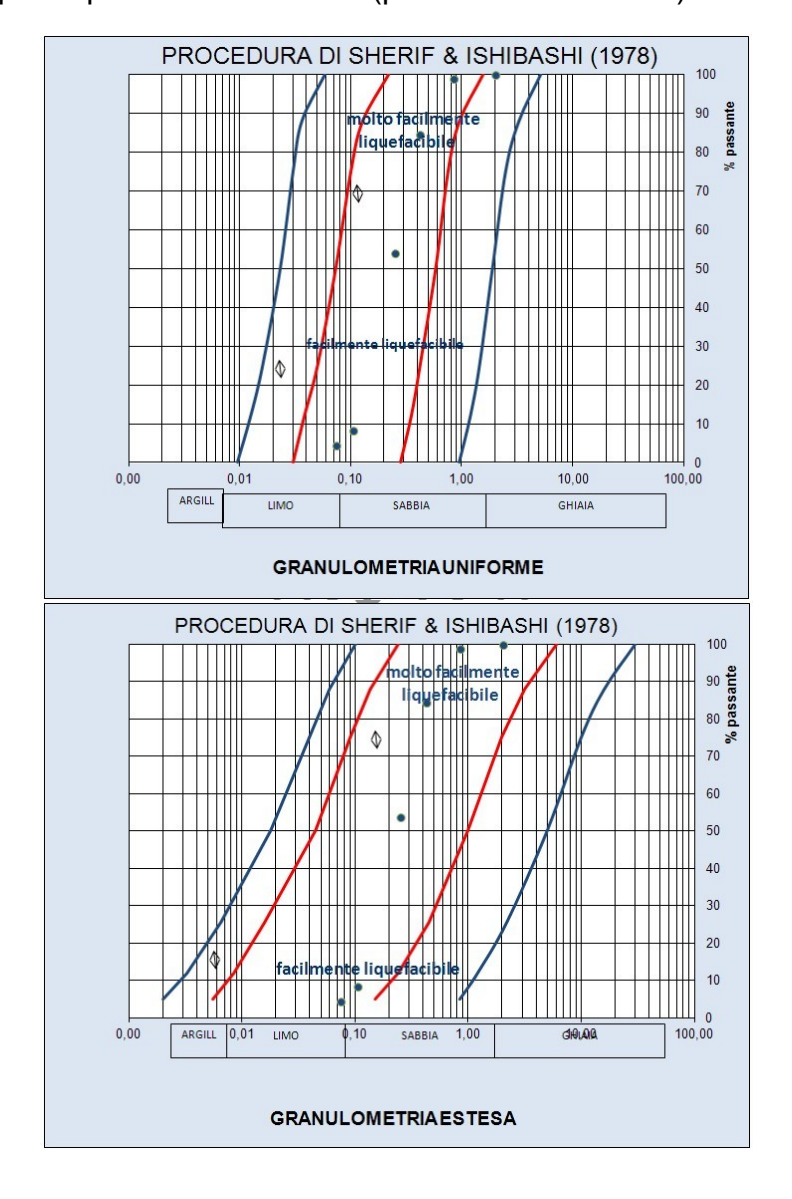
E' previsto un edificio di un 1 piano che risuona a circa 10Hz. Bisogna sottolineare che <u>questa valutazione è puramente indicativa e serve solo ad escludere la doppia risonanza in termini di ordini di grandezza.</u>

LIQUEFAZIONE DEI TERRENI SABBIOSI PRESENTI

Per valutare il rischio liquefazione è stato seguito un sondaggio penetrometrico statico CPT n.4 (allegato n.1a) con prelievo di campione di sabbie disturbato alla profondità di -3.20 metri sul quale sono state eseguite le analisi granulometriche (allegato n.5a).

La granulometria dei campioni di sabbia prelevati a -3.20 metri di profondità presentano fusi granulometrici ricadenti in quelli liquefacibili.

CAMPIONE 1 prova penetrometrica n.4 (profondità 3.20 metri)



Visto che le sabbie rientrano nei fusi con possibile liquefazione si è proceduto all'analisi della liquefazione con il calcolando del coefficiente di sicurezza Fs secondo il D.M. 14/01/08:

$$Fs = \frac{CRR}{CSR}MSF$$

dove:

CRR=resistenza normalizzata;

CSR=tensione indotta dal terremoto

MSF=fattore di scala funzione della magnitudo dei terremoti attesi.

A partire dai dati di campagna ottenuti con la prova penetrometrica statica si è eseguito il calcolo per la valutazione del rischio liquefazione. In particolare si è utilizzato il metodo di calcolo di Robertson e Wride (1998) che calcola il fattore di sicurezza Fs per ogni livello di misura ottenuto dalla penetrometria statica eseguita.

Il fattore di sicurezza Fs è il rapporto tra le resistenze disponibili nel terreno e le sollecitazioni a cui esso può essere soggetto (che possono poi portare a liquefazione).

Nel calcolo previsto da tale metodo, oltre ai risultati ottenuti dalla prova, sono presenti altre variabili che sono state assegnate come riportato in tabella in base al O.P.C.M. del 20/03/2003:

a _{max} /g	0,25 (zona 2)
Magnitudo di riferimento	6
γ(peso specifico in Kg/cm²)	1,90

Come richiesto dal O.P.C.M. del 20/03/2003, il fattore di sicurezza risulta maggiore di 1,25. Due valori riferiti a due letture dello spessore di circa 20 cm alla profondità di -6.20 e -6.60 mt presentano un fattore di sicurezza di 1.10 ma considerando l'esiguo spessore di tali strati rispetto la stratigrafia non si ritiene vi siano rischi di liquefazione al magnetudo di calcolo.

Possiamo quindi concludere che con i Fattore di sicurezza, calcolati ogni 20 cm, nelle sabbie presenti nell'area in oggetto, non sono a rischio liquefazione.

Committente: DOMUNE DI RIDDIONE

Riferimento: CAMPAGNA INDAGINI GEOGNOSTICHE

Località: ZONA N . 6 OPIAGGIA DI RIDDIONE

Oggetto: PIAND DELL'ARENILE

ANALISI

di Rischio lique fazione iwasaki et

Mero	al cue at	IIIZZANO PIOVO	Га	ittora di sicula	LLa	Magilitu	no di i lia lili	Auto	marce a	at Lo falls	in eist	RISCINO	il que la zione il	Vasakiet		477	
	station	(CPT)		(Fs)			(M)		LI	Liquefazione (IP _L) al. (197		al. (1978)	al. (1978)				
Rob	ertson e	VVride (1998)	> 1,0	> 1,25 (OP	CM 3274)		6,0			#NUM! #NUM!		E	PC LIBRI				
Prof.		lo (n =1)		lo (n=0,6)	lo (n=0.78)	Verificare camp bine in	lo utilizzato	Fs	Prof.		lo(n=1)		o (n=0,5)	lo (n=0.78)	Verificare campione in	lo utilizzato	Fs
(m)	valore	Classificazione	vabre	Classificazione	valore	lab.	valore	labre	(m)	labre	Classificazione	labre	Classificazione	valore	lab.	valore	labre
0,20	N.C.	NC.	N.C.	N.C.	N.C.	7-	N.C.	N.C.	10,20	274	Agilloso	274	NL.	NL	1.4	N.L.	N.L.
0,40	1,33	Granulare	1,58	NPGranulare	1,43	-	1,58	N.C.	10,40	2,67	Argilloso	2,66	NL.	N.L	-	NL	N.L.
0,60	1,67	Granulare	1,89	NPGranulare	1,77	-	1,89	N.C.	10,60	2,75	Agilloso	274	NL.	N.L	7-	NL	N.L.
0,80	1,94	Granulare	2,15	NPGranulare	204		2,15	N.C.	10,30	2,80	Agilloso	279	NL.	N.L	-	N.L	N.L.
1,00	1,87	Granulare	2,05	NPGranulare	1,96	-	2,05	N.C.	11,00	2,78	Agilloso	276	NL.	N.L	100	N.L	N.L.
1,20	1,58	Granulare	1,72	NPGranulare	1,64	-	1,72	N.C.	11,20	2,88	Argilloso	2,87	NL.	N.L		NL	N.L.
1,40	1,59	Granulare	1,76	NPG ranulare	1,67	-	1,76	N.C.	11,40	294	Argilloso	292	NL.	N.L		N.L	N.L.
1,80	1,78	Granulare Granulare	1,94	NPG ranulare	1,88	-	1,94	N.C.	11,60	2,99	Agilloso	296	NL.	N.L.		N.L N.L	N.L.
2.00	1,90	Granulare	210	NPG ranulare NPG ranulare	202	-	2,10	N.C.	11,80	272	Argilloso Argilloso	269	NL.	N.L.		N.L	N.L.
2.20	1,83	Granulare	1.78	NPGranuare	1.70	3	1.78	N.C.	12,20	251	Granulare	248	NPG ranulare	250	- 5	248	1.00
2.40	1,52	Granulare	1,66	NPGranulare	1.59	-	1,66	N.C.	12,40	241	Granulare	238	NPGranulare	239	-	238	1,91
2.60	1.64	Granulare	1,77	NPGranulare	1,70		1.77	N.C.	12.60	3.00	Argilloso	296	NL.	N.L	-	N.L	N.L.
2.80	1,94	Granulare	207	NPGranulare	200	-	2.07	N.C.	12,80	295	Agiloso	291	NL.	N.L		N.L	N.L.
3,00	1,89	Granulare	202	NPGranulare	1,95	-	2,02	N.C.	13,00	297	Agilloso	293	NL.	NL		N.L	N.L.
3,20	1,65	Granulare	1,79	NPGranulare	1,71	-	1,79	N.C.	13,20	2,89	Agilloso	285	NL.	N.L	-	N.L.	N.L.
3,40	1,83	Granulare	1,95	NPGranulare	1,89	-	1,95	N.C.	13,40	294	Agilloso	289	NL.	N.L	35	N.L	N.L.
3,60	1,72	Granulare	1,85	NPGranulare	1,78	-	1,85	N.C.	13,60	3,00	Agilloso	296	NL.	NL	7-	N.L	N.L.
3,80	2,08	Granulare	2,18	NPGranulare	2,12	-	2,18	3,58	13,80	3,08	Agilloso	3,03	NL.	NL		NL	N.L.
4,00	1,87	Granulare	2,00	NPGranulare	1,93	-	2,00	1,80	14,00	#NU/!	#NUM!	#NU/I!	#NUM!	#NU/!	#NUM!	#NU/!	N.C.
4.	2,12	Granulare	224	NPGranulare	218	- 1	2,24	1,20	14,20	N.C.	N.C.	N.C.	N.C.	N.C.	-	N.C.	N.C.
4,40	2,78	Agilloso	2,89	N.L.	N.L	-	N.L	N.L.	14,40	N.C.	N.C.	N.C.	N.C.	N.C.		N.C.	N.C.
4,80	2,47	Granulare Granulare	2,57 2,47	NPG ranulare	252 243	-	2,57	2,44	14,60	N.C.	N.C.	N.C.	N.C.	N.C.		N.C.	N.C.
5,00	1.96	Granulare	208	NPG ranulare NPG ranulare	201	-	2,06	1.88	14,80	N.C.	N.C.	N.C.	N.C.	N.C.		N.C.	N.C.
5,20	1.90	Granulare	1,98	NPG ranulare	1.94	1	1,98	248	15,20	N.C.	N.C.	N.C.	N.C.	N.C.	100	N.C.	N.C.
5.40	2,11	Granulare	219	NPGranulare	215	-	2,19	1.84	15,40	N.C.	N.C.	N.C.	N.C.	N.C.	72	N.C.	N.C.
5.60	2.05	Granulare	213	NPGranulare	209	0 2	2.13	204	15,60	N.C.	N.C.	N.C.	N.C.	N.C.	100	N.C.	N.C.
5.80	2.29	Granulare	236	NPGranulare	232	-	2.36	298	15,80	N.C.	N.C.	N.C.	N.C.	N.C.		N.C.	N.C.
6,00	2,07	Granulare	214	NPGranulare	211	-	2,14	1,83	16,00	N.C.	N.C.	N.C.	N.C.	N.C.	-	N.C.	N.C.
6,20	1,95	Granulare	2,02	NPGranulare	1,99	-	2,02	1,78	16,20	N.C.	N.C.	N.C.	N.C.	N.C.	7-	N.C.	N.C.
6,40	1,88	Granulare	1,95	NPGranulare	1,92	-	1,95	1,20	16,40	N.C.	N.C.	N.C.	N.C.	N.C.	-	N.C.	N.C.
6,60	2,70	Agilloso	2,77	N.L.	N.L	_ =	N.L	N.L.	16,60	N.C.	N.C.	N.C.	N.C.	N.C.	100	N.C.	N.C.
6,80	3,22	Agiloso	3,28	N.L.	N.L	-	NL	N.L.	16,80	N.C.	N.C.	N.C.	N.C.	N.C.		N.C.	N.C.
7,00	3,83	Agilloso	3,88	N.L.	N.L	-	N.L	N.L.	17,00	N.C.	N.C.	N.C.	N.C.	N.C.	- (-)	N.C.	N.C.
7,20	2,70	Agilloso	275	N.L.	N.L	-	N.L	N.L.	17,20	N.C.	N.C.	N.C.	N.C.	N.C.		N.C.	N.C.
7,40	3,58	Argilloso Argilloso	3,63	N.L.	N.L N.L	-	N.L N.L	N.L.	17,40	N.C.	N.C.	N.C.	N.C.	N.C.	7-2	N.C.	N.C.
7,80	2,71	Agilloso	274	N.L.	N.L	-	N.L	N.L.	17,80	N.C.	N.C.	N.C.	N.C.	N.C.		N.C.	N.C.
8,00	2,71	Argilloso Granulare	239	N.L. NPGranulare	237	-	2.39	1,09	17,80	N.C.	N.C.	N.C.	N.C.	N.C.		N.C.	N.C.
8.20	2,97	Agiloso	3.00	N.L.	N.L		N.L	N.L.	18.20	N.C.	N.C.	N.C.	N.C.	N.C.	-	N.C.	N.C.
8,40	2,70	Agilloso	272	N.L.	NL	-	N.L	N.L.	18.40	N.C.	N.C.	N.C.	N.C.	N.C.	-	N.C.	N.C.
8.60	2.81	Agilloso	283	N.L.	N.L	-	N.L	N.L.	18,60	N.C.	N.C.	N.C.	N.C.	N.C.	3.75	N.C.	N.C.
8,80	2,91	Agilloso	292	N.L.	N.L	-	NL	N.L.	18,80	N.C.	N.C.	N.C.	N.C.	N.C.	-	N.C.	N.C.
9,00	2,96	Agilloso	2,97	N.L.	N.L	-	NL	N.L.	19,00	N.C.	N.C.	N.C.	N.C.	N.C.		N.C.	N.C.
9,20	2,85	Agilloso	286	N.L.	N.L	-	N.L	N.L.	19,20	N.C.	N.C.	N.C.	N.C.	N.C.	72	N.C.	N.C.
9,40	2,85	Argilloso	286	N.L.	N.L	-	N.L	N.L.	19,40	N.C.	N.C.	N.C.	N.C.	N.C.	1070	N.C.	N.C.
9,60	2,86	Agilloso	287	N.L.	N.L	-	NL	N.L.	19,60	N.C.	N.C.	N.C.	N.C.	N.C.	-	N.C.	N.C.
9,80	2,77	Agilloso	277	N.L.	N.L	-	N.L	N.L.	19,80	N.C.	N.C.	N.C.	N.C.	N.C.	-	N.C.	N.C.
10,00	2,76	Argilloso	276	N.L.	N.L	-	N.L	N.L.	20,00	N.C.	N.C.	N.C.	N.C.	N.C.	- 19	N.C.	N.C.

Prov.:

Metodi che utilizzano Prove Fattore di sicurezza Magnitudo di riferimento indice dei Potenziale

N.C. - Non Calcolabile

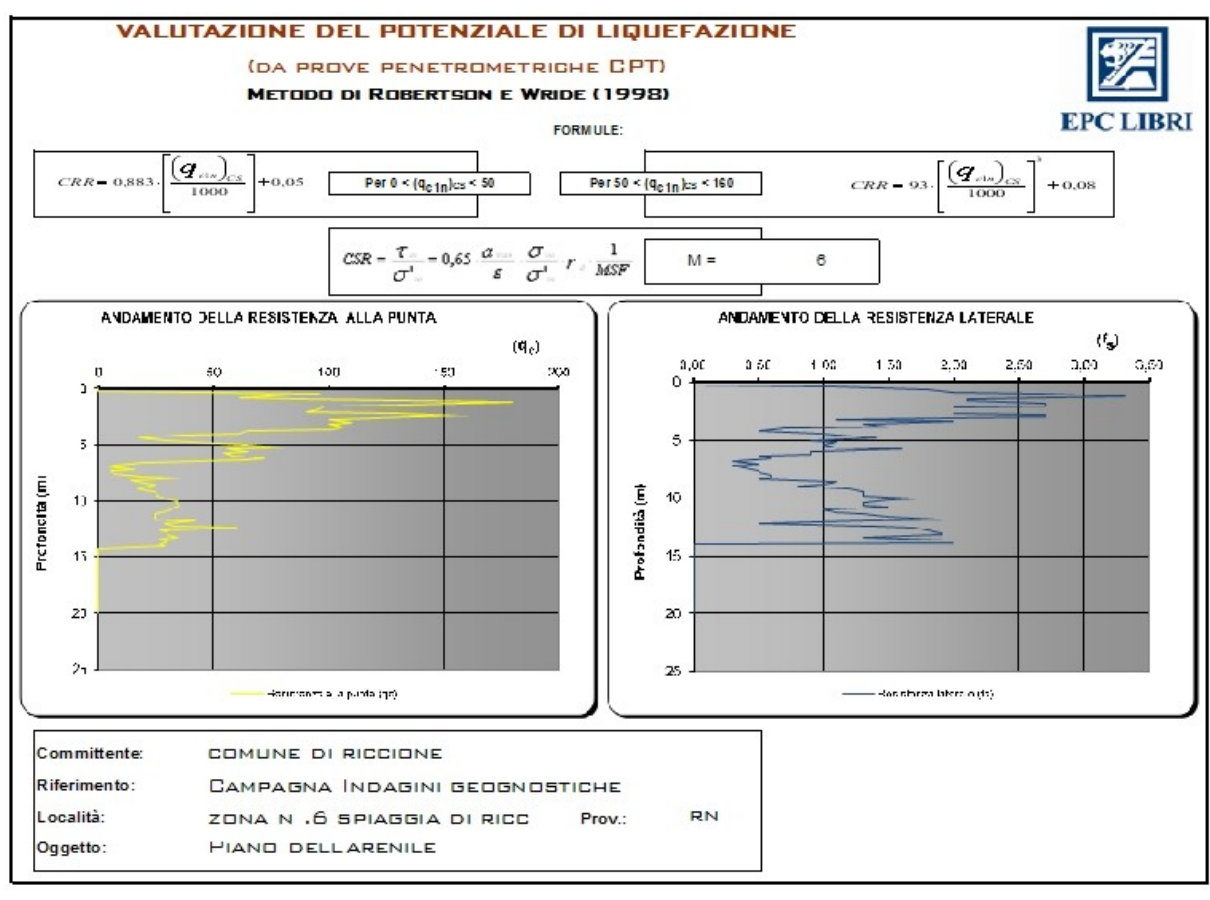
N.L. - Non Liquefacible

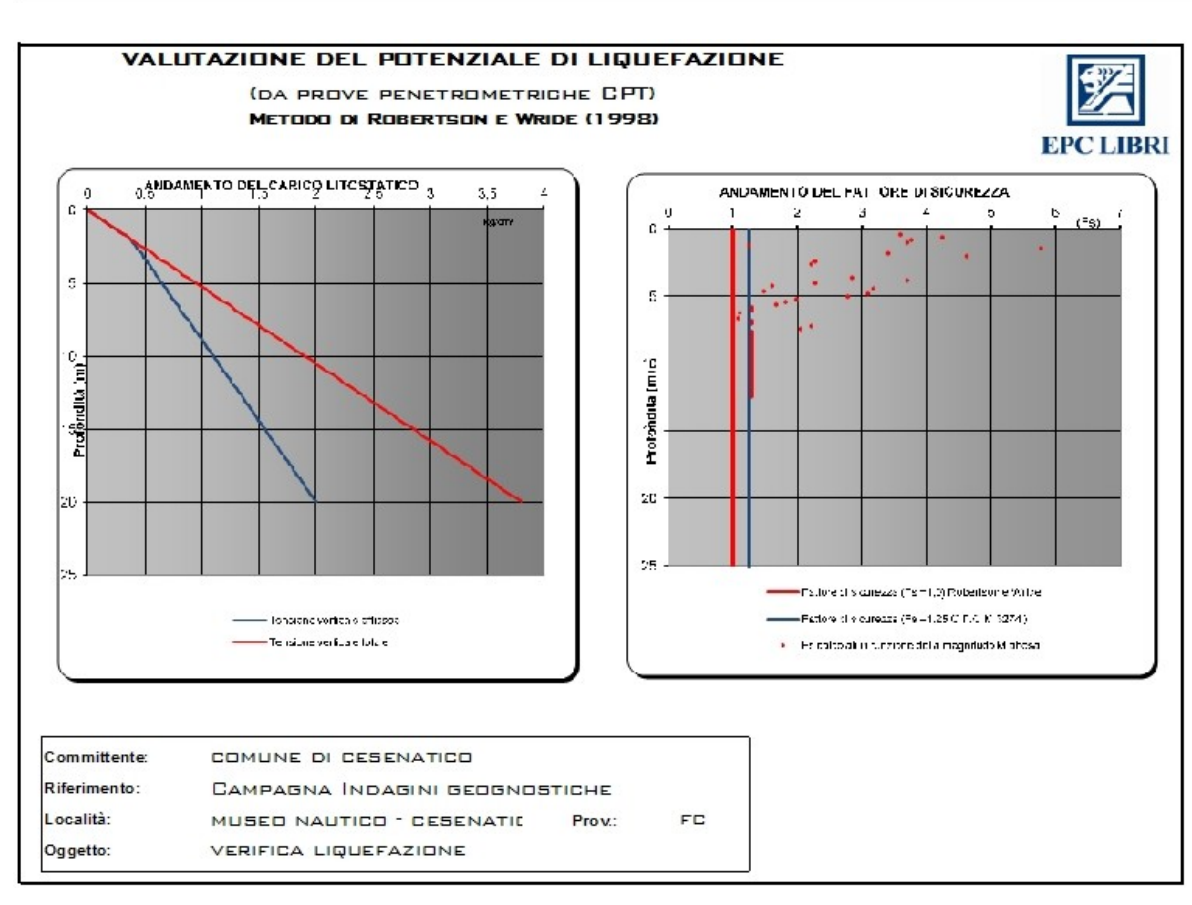
Plimoso - Terreno Limoso e possibilmente Plastico NPGranulare - Terreno non Plastico di natura granulare Argilloso = C. Chese = Granulare = Terreno Arglibso Criteri Cinese Terreno Granulare

Nessun Criterio

--

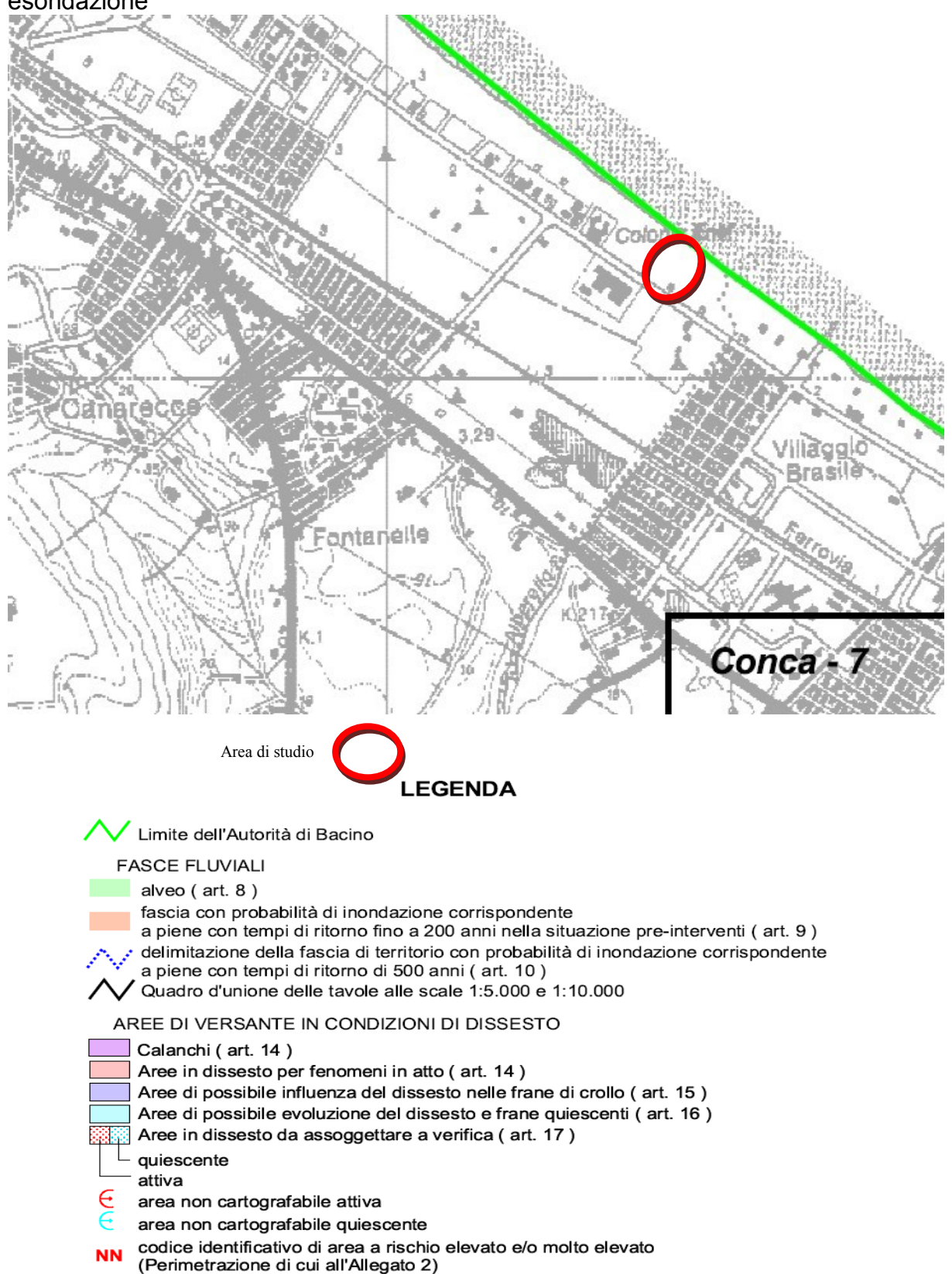
13





VERIFICA CON IL PIANO ASSETTO IDROGEOLOGICO (P.A.I.)

L'area in oggetto non ricade nella cartografia P.A.I. in area a rischio di esondazione



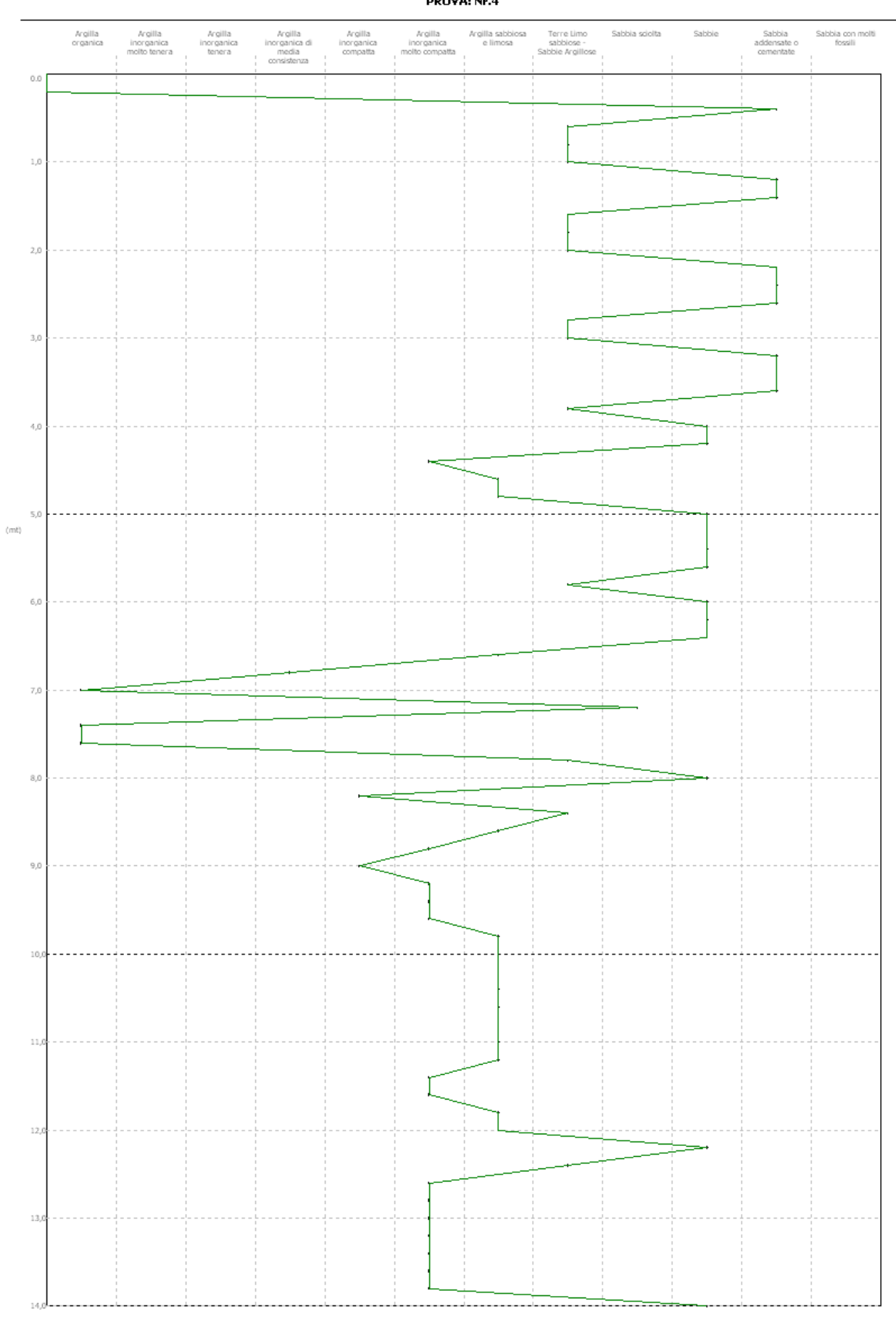
ALLEGATI ZONA SPIAGGIA N.6:

GEOTECHNICS PROVE E SONDAGGI s.n.c. VIA MORGAGNI 1/B 48015 CERVIA (RA) ALLEGATO N. 1a

Probe CPT - Cone Penetration Nr.4 Strumento utilizzato PAGANI TG 63 (200 kN)

Committente: Cantiere: Località: COMUNE DI RICCIONE Data: 18/06/2013 PIANO SPIAGGIA - COMUNE DI RICCIONE Resistenza punta Qc (Kg/cm²) Resistenza laterale Fs (Kg/cm²) 20,0 40,0 60,0 80,0 100,0 1,00 2,00 3,00 4,00 5,00

GRAFICO PROFONDITA' / VALUTAZIONI LITOLOGICHE (Schmertmann 1978) PROVA: Nr.4



Probe CPT - Cone Penetration Nr.5 Strumento utilizzato PAGANI TG 63 (200 kN)

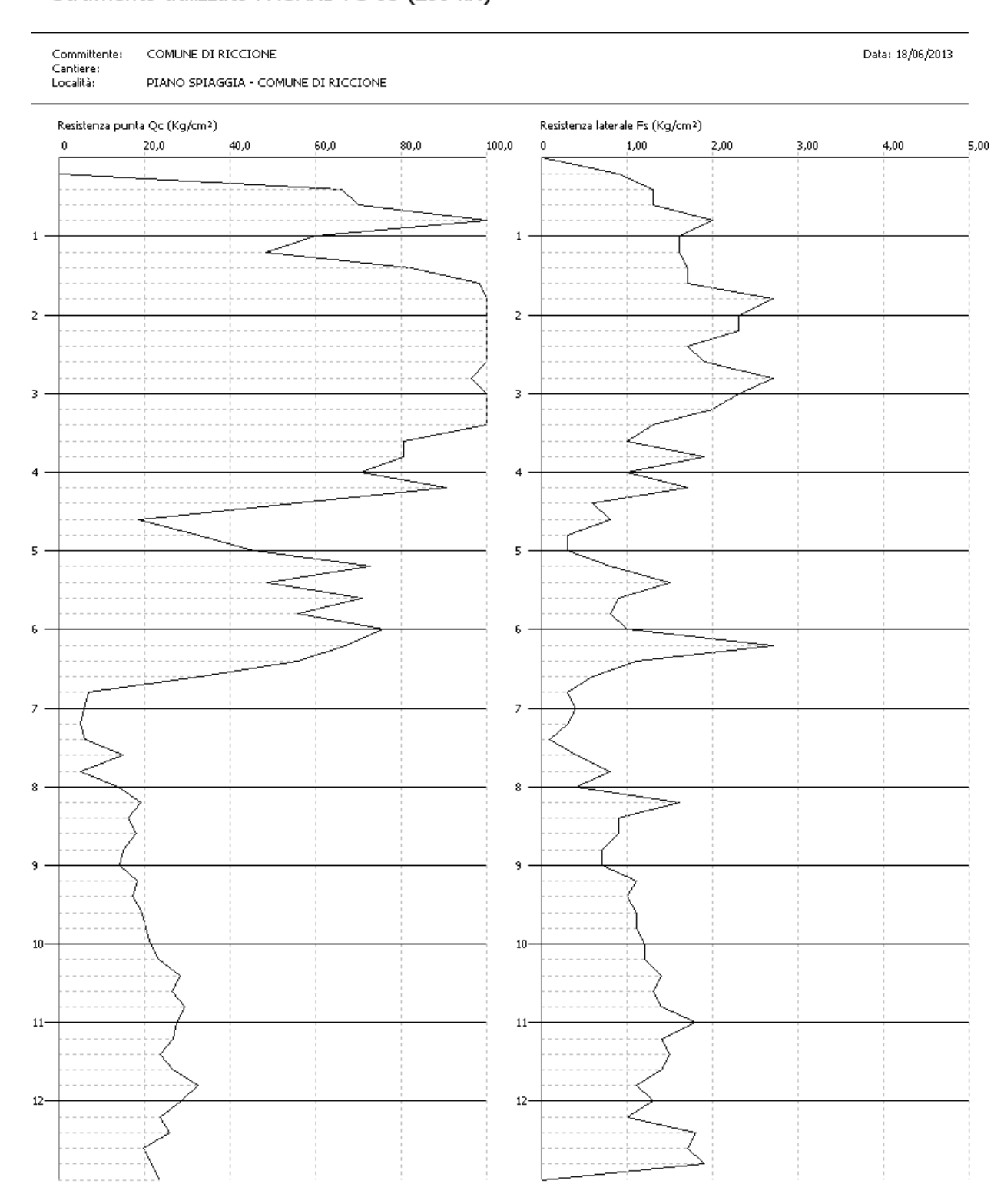
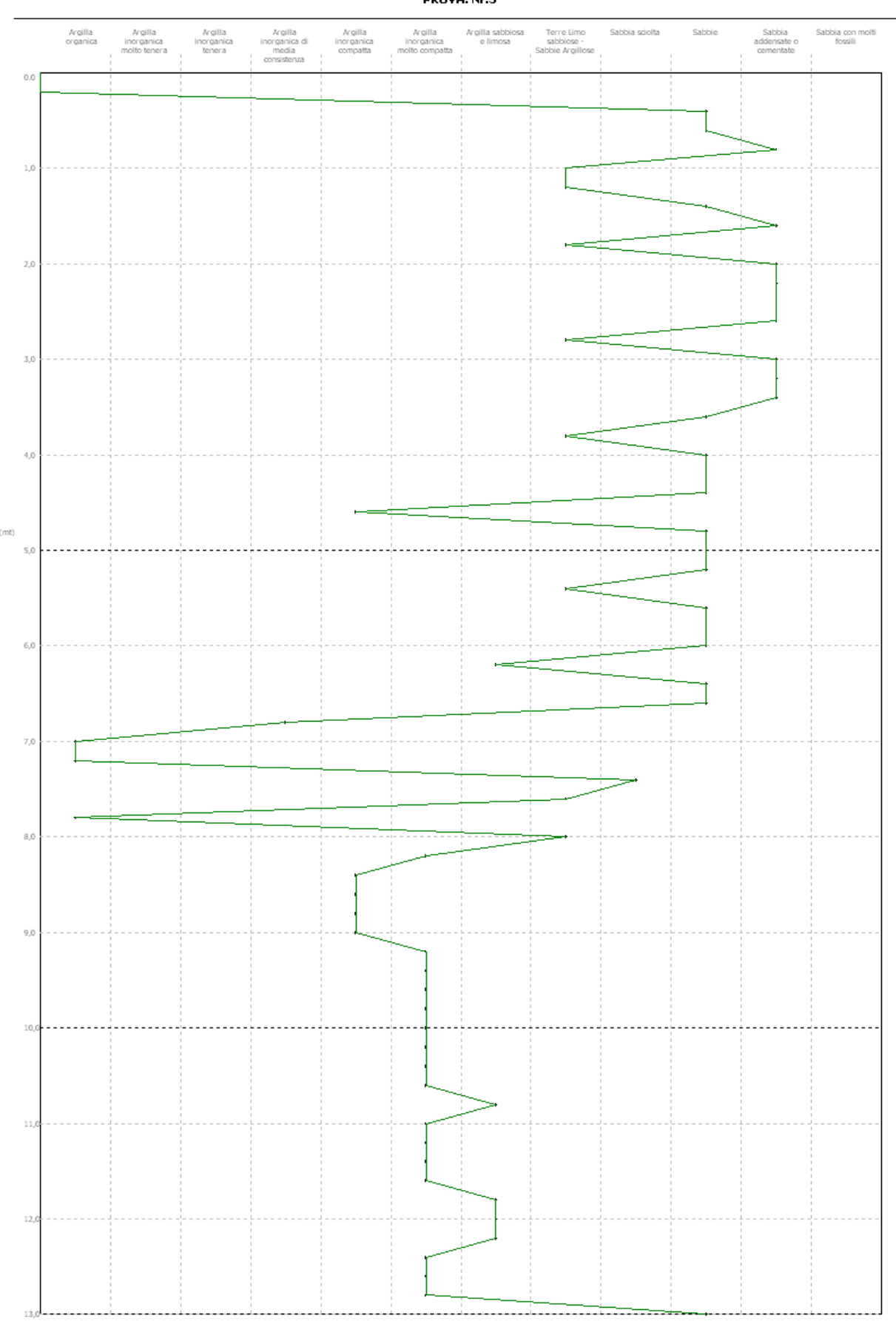


GRAFICO PROFONDITA' / VALUTAZIONI LITOLOGICHE (Schmertmann 1978) PROVA: Nr.5



ALLEGATO N. 5a



CANTIERE: RICCIONE (RN)- ZONA 6
Sondaggio n.4
Campione n. 1
DATA: GIUGNO 2013
profondità mt.: 3.20

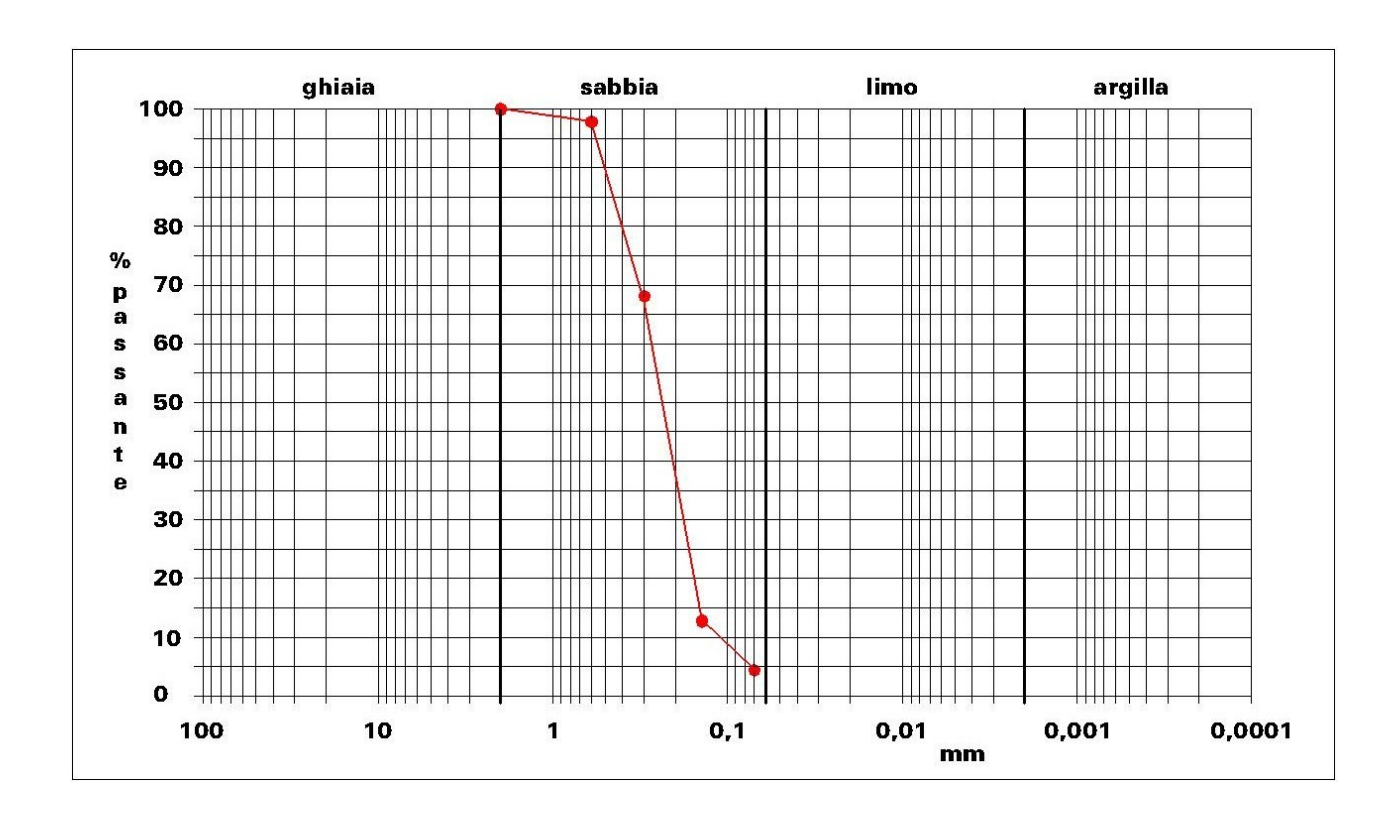
ANALISI GRANULOMETRICA

Metodo della prova: setacciatura

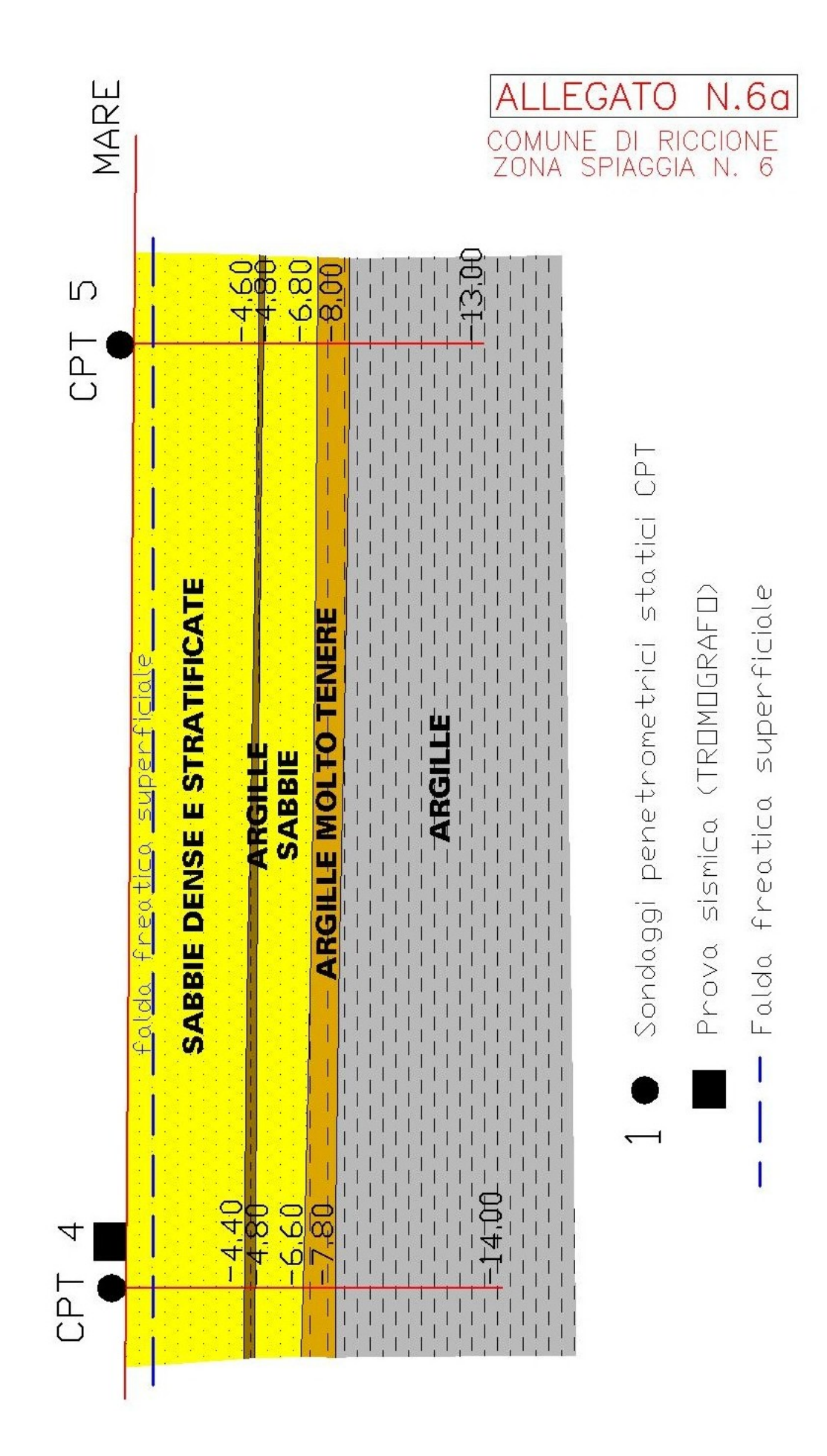
Stato del campione: disturbato Peso secco: 232.56 gr.

Setacci A.S.T.M. n.	Luce netta mm.	Passante%
10	2.000	100,00
30	0,600	99,14
50	0,300	70,55
100	0,150	12,50
200	0.075	4,80

Descrizione	Ghiaia	Sabbia	Limi
e argilla			
(Classificazione A.G.I.)	%	%	%
Sabbia	ζζ	95.8	4.2



SCALA 1:200



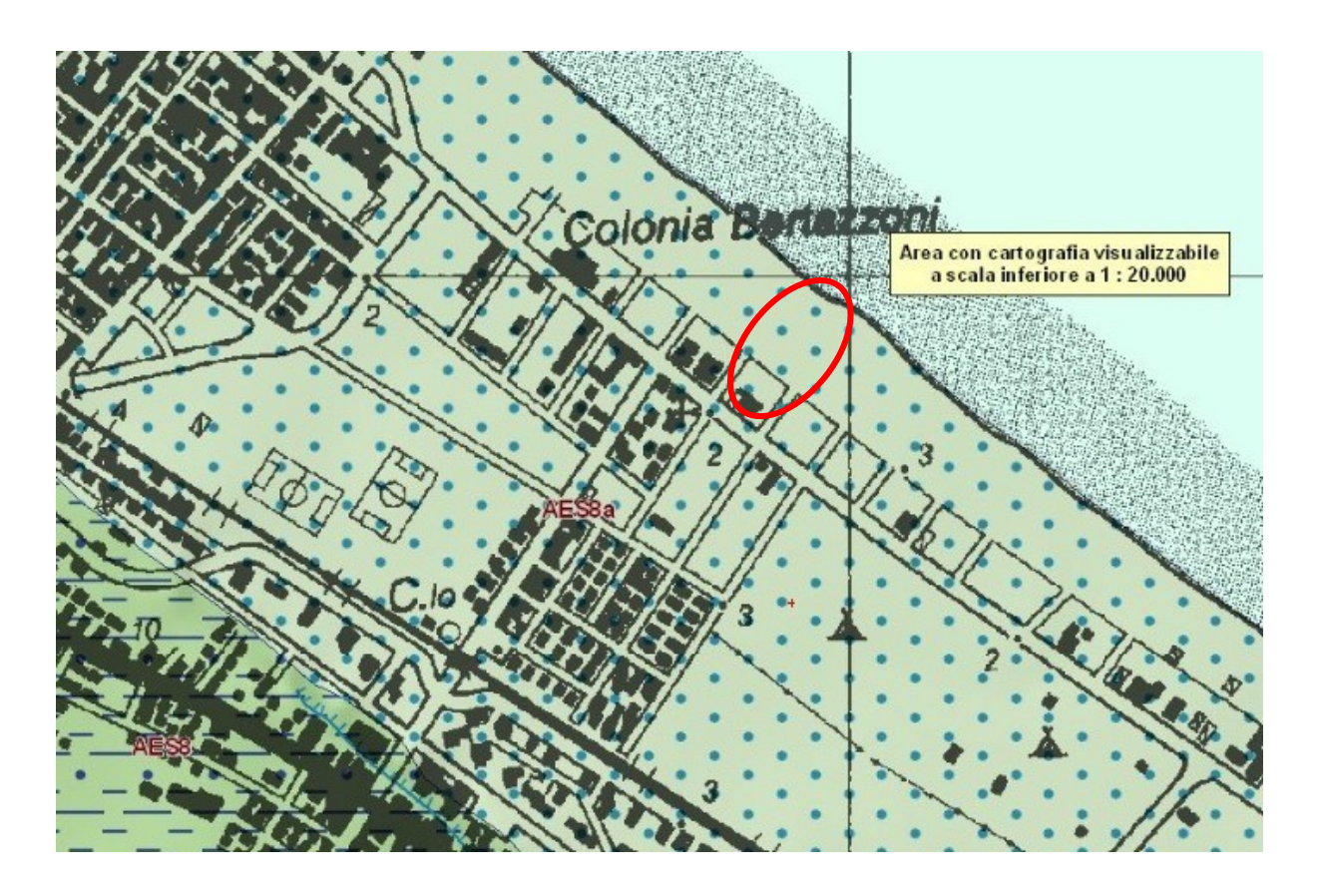
ZONA DI SPIAGGIA LIBERA N.24

GEOLOGIA E GEOMORFOLOGIA

L'area in studio è rappresentata nella Carta Geologica d'Italia nella Carta Geologica dell'Emilia Romagna nelle sezioni 268010 denominata MISANO ADRIATICO. Le aree sono rappresentate dall'Unità di Modena.

CARTA GEOLOGICA EMILIA ROMAGNA - 1:10.000

SEZIONE 268010 "MISANO ADRIATICO"





Area in studio



UNITA DI MODENA Ghiaie, sabbie, limi ed argille di cordone litorale (Età: Olocene) AES8a



SUBSINTEMA DI RAVENNA Depositi alluvionali (Olocene) AES8

PLANIMETRIA ZONA 24 SPIAGGIA DI RICCIONE



Le coordinate WSG84 di tale zona sono: LAT: 43.991069° LONG: 12.680745°



Prove penetrometriche statiche CPT Prova sismica passiva (Tromografo) Sezione geologica

STRATIGRAFIA E IDROGRAFIA

Dall'elaborazione dei dati ottenuti dal sondaggio penetrometrico statico eseguito si può ritenere la seguente stratigrafia:

SONDAGGIO STATICO N.3:

- dal p.c. a circa mt.-1.00:

SABBIE

- da circa mt. -1.00 a circa mt.-1.80:

ARGILLE MOLTO TENERE

- da circa mt. -1.80 a circa mt.-5.00:

SABBIE ADDENSATE E STRATIFICATE:

- da circa mt. -5.00 a circa mt.-7.00:

SABBIE ARGILLOSE;

- da circa mt. -7.00 a circa mt.-7,60:

ARGILLE MOLTO TENERE

- da circa mt. -7.60 a circa mt.-8.40:

GHIAIE

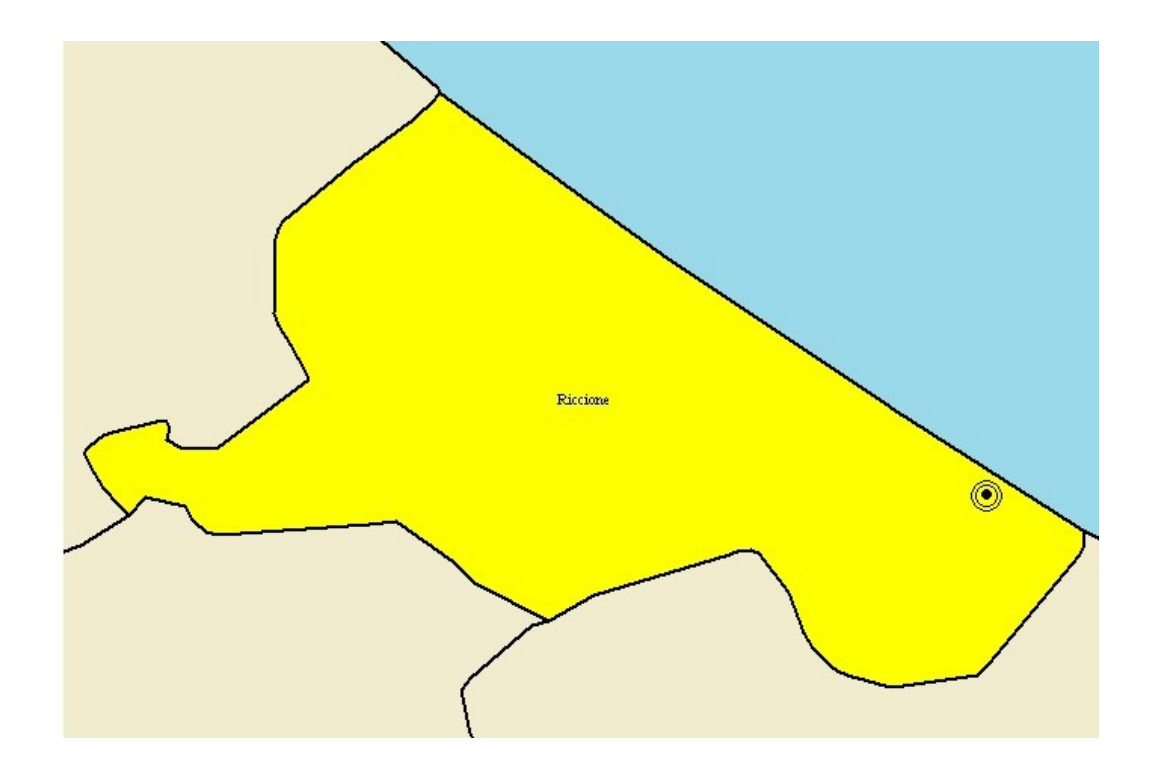
La falda freatica è stata rilevata nella prova penetrometrica ad una profondità di -1.00 metro dal piano campagna.

Accelerazione sismica

L'Istituto Nazionale di Geofisica e Vulcanologia fornisce una mappatura di grande dettaglio di tutta Italia in cui viene fornita l'accelerazione delle onde sismiche (in intervalli) in funzione del tipo di terreno presente.

Consultando la mappa e conoscendo le coordinate del sito è possibile consultare i dati di dettaglio e ricava che il punto più vicino al sito di riferimento ha caratteristiche:

Comune di Riccione - Coordinate sito (Datum - ED50) : Longitudine = 12.6817° ; Latitudine = 43.9920°									
	Punti della maglia:	18969 18970	19191 19192						
Valori dei paran	Valori dei parametri ag, Fo, Tc* per i periodi di ritorno TR associati a ciascun Stato Limite								
STATO LII	MITE TR [anni]	ag [g]	Fo	Tc* [s]					
SLO	30	0.048	2.427	0.275					
SLD	50	0.063	2.558	0.277					
SLV	475	0.183	2.481	0.296					
SLC	975	0.238	2.522	0.310					



Calcolo Vs₃₀ e assegnazione categoria

Per il calcolo delle Vs₃₀ è stata effettuata una misura di rumore sismico in prossimità del sondaggio penetrometrico effettuato (per evitare gli effetti del terreno di riporto). In particolare sono stati registrati 20 minuti di rumore lungo le direzioni N-S, E-W, U-D con frequenza di campionamento di 100 Hz. I dati sono stati poi analizzati con la tecnica HVRS secondo la quale si calcola il rapporto delle componenti orizzontali rispetto a quelle verticali per mettere in evidenza le frequenze di risonanza del terreno. A partire dalla relazione di Nakamura:

$$\nu = \frac{V_S}{4h}$$

conoscendo la profondità delle interfacce degli strati (dal sondaggio) e conoscendo le frequenze di risonanza (dalle prove sismiche passive) è possibile calcolare le Vs.

Di seguito è riportato il risultato della prova:

Sono presenti diversi picchi:

- I picchi 37.58 Hz che rappresenta il terreno superficiale;
- Il picco a 13.20 Hz che corrisponde allo strato a –5.00 metri di profondità;
- Il picco a 7.89 Hz che corrisponde allo strato a circa -24 metri di profondità:
- sotto i -24.00 metri le Vs si stabilizzano a circa 250 m/s come da bibliografia dei terreni limitrofi.

Per cui, riassumendo:

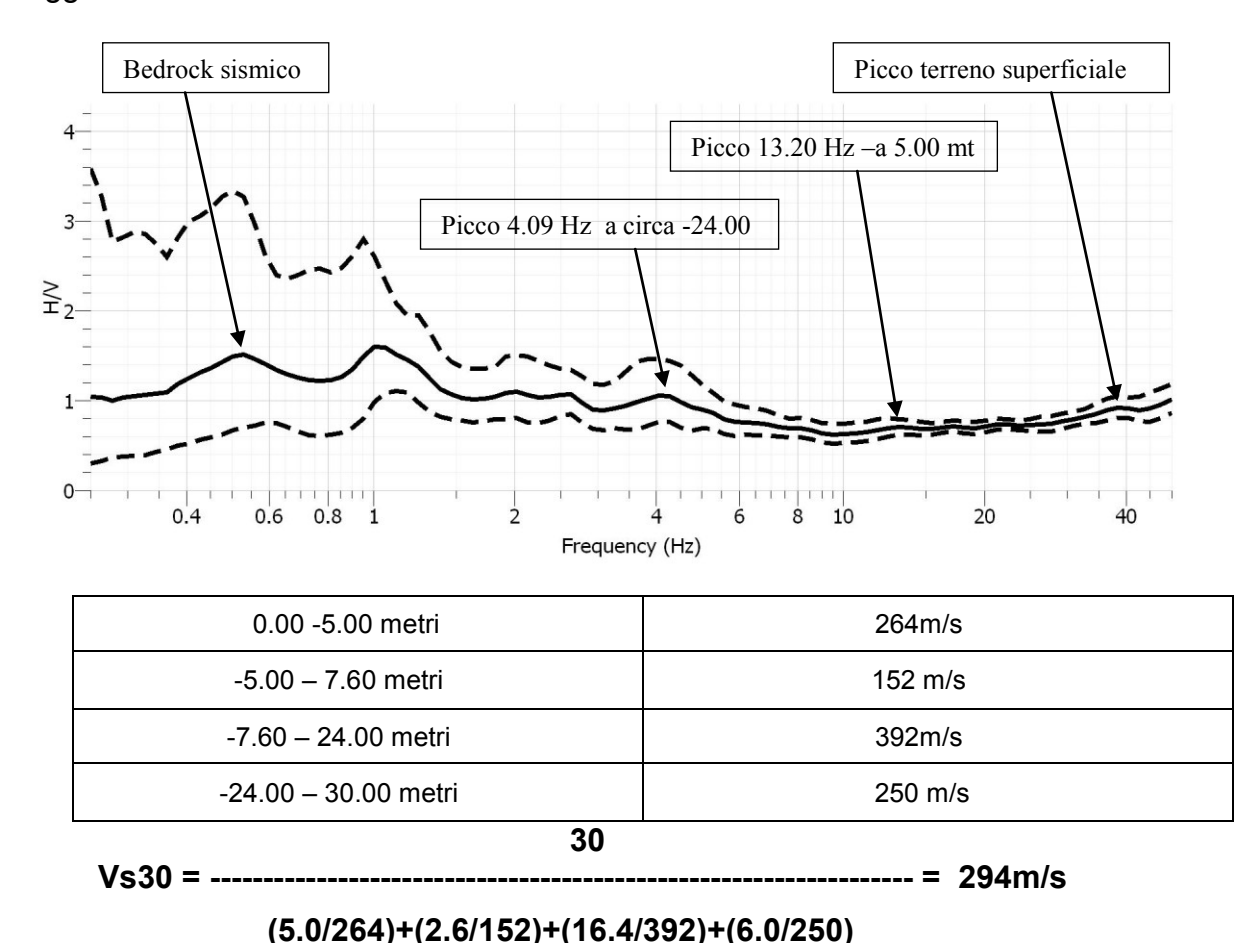
Le Vs fino a -5.00 metri sono stimate: 4 * 13.20 * 5.00 = 264m/s;

fino a -7.60 metri: 4 * 7.89 * 7.80 = 152 m/s;

fino a circa -24.00 metri: 4 * 4.09 * 24.00 = 392 m/s;

Sotto -24.00 metri gli strati si stabilizzano e le Vs viaggiano, da bibliografi, a 250 m/s;

Il bedrock che si trova a una frequenza di 0.50 Hz è riscontrato ad una profondità maggiore di 110 metri.



Essendo le Vs₃₀ stimate 294 m/sec il terreno può essere classificato come appetente alla <u>categoria C</u>.

La doppia risonanza

Come si evidenzia dal diagramma H/V nella misura di sismica passiva, il terreno preso in esame presenta diversi picchi significativi con Hz variabili da circa 0.5 Hz a circa 1.32Hz e il picco a 4.09Hz. Questi picchi corrispondono a delle frequenze di risonanza, frequenza alle quale le onde sismiche che attraversano il terreno vengono amplificate.

E' fondamentale evitare che si verifichi il caso della doppia risonanza, caso in cui la frequenza di risonanza del terreno coincide con la frequenza di risonanza dell'edificio.

In caso di terremoto le conseguenze sarebbero piuttosto serie. Per gli edifici costruiti si può calcolare la frequenza di risonanza dell'edificio stesso facendo delle misure si sismica passiva in sito. Dove non è stato costruito, se ne può ipotizzare l'ordine di grandezza tramite la relazione empirica:

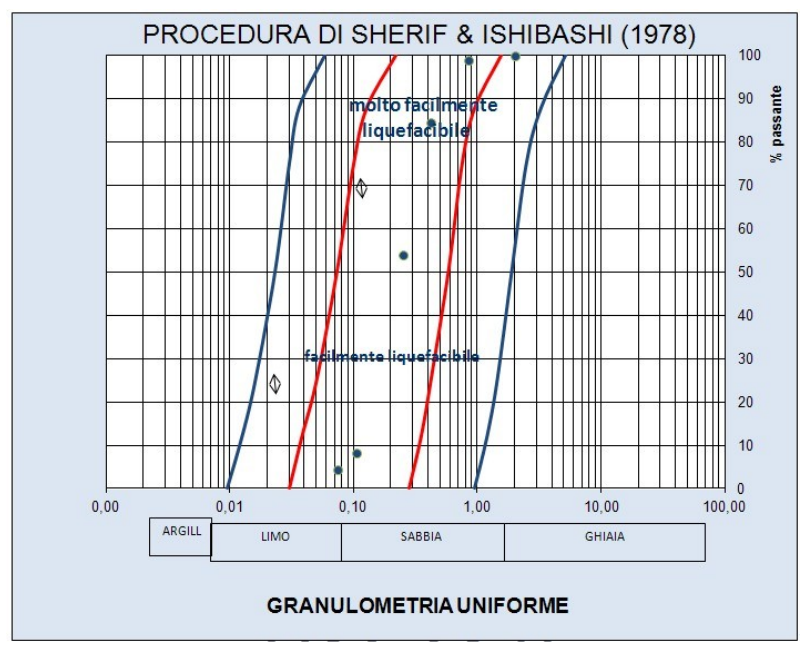
E' previsto un edificio di un 1 piano che risuona a circa 10Hz. Bisogna sottolineare che <u>questa valutazione è puramente indicativa e serve solo ad escludere la doppia risonanza in termini di ordini di grandezza</u>.

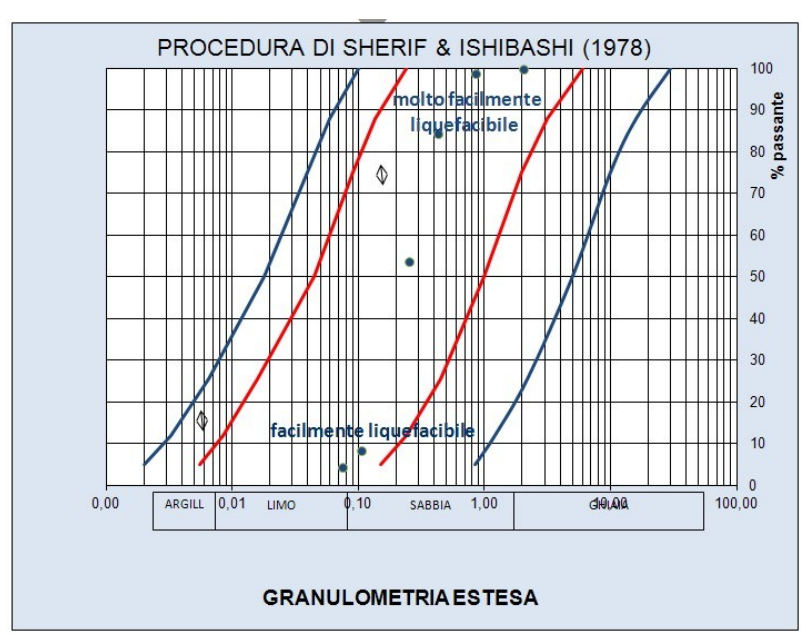
LIQUEFAZIONE DEI TERRENI SABBIOSI PRESENTI

Per valutare il rischio liquefazione è stato seguito un sondaggio penetrometrico statico CPT n.3 (allegato n.1b) con prelievo di campione di sabbie disturbato alla profondità di -3.40 metri sul quale sono state eseguite le analisi granulometriche (allegato n.3b).

La granulometria dei campioni di sabbia prelevati a -3.40 metri di profondità presentano fusi granulometrici ricadenti in quelli liquefacibili.

CAMPIONE 1 prova penetrometrica n.3 (profondità 3.40 metri)





Visto che le sabbie rientrano nei fusi con possibile liquefazione si è proceduto all'analisi della liquefazione con il calcolando del coefficiente di sicurezza Fs secondo il D.M. 14/01/08:

$$Fs = \frac{CRR}{CSR}MSF$$

dove:

CRR=resistenza normalizzata;

CSR=tensione indotta dal terremoto

MSF=fattore di scala funzione della magnitudo dei terremoti attesi.

A partire dai dati di campagna ottenuti con la prova penetrometrica statica si è eseguito il calcolo per la valutazione del rischio liquefazione. In particolare si è utilizzato il metodo di calcolo di Robertson e Wride (1998) che calcola il fattore di sicurezza Fs per ogni livello di misura ottenuto dalla penetrometria statica eseguita.

Il fattore di sicurezza Fs è il rapporto tra le resistenze disponibili nel terreno e le sollecitazioni a cui esso può essere soggetto (che possono poi portare a liquefazione).

Nel calcolo previsto da tale metodo, oltre ai risultati ottenuti dalla prova, sono presenti altre variabili che sono state assegnate come riportato in tabella in base al O.P.C.M. del 20/03/2003:

a _{max} /g	0,25 (zona 2)
Magnitudo di riferimento	6
γ(peso specifico in Kg/cm²)	1,90

Come richiesto dal O.P.C.M. del 20/03/2003, il fattore di sicurezza risulta maggiore di 1,25.

Possiamo quindi concludere che con i Fattore di sicurezza, calcolati ogni 20 cm, nelle sabbie presenti nell'area in oggetto, non sono a rischio liquefazione.

Committente: DOMUNE DI RIDDIONE

Riferimento: CAMPAGNA INDAGINI GEOGNOSTICHE

ZONA BPIAGGIA N.24 RIDDIONE

IV VARIANTE PIANO SPIAGGIA Oggetto:

ANALISI

Metod	il che uti	lizzan o Prove	Fa	ttore di sicure:	Z ZB	Magnitu	do di riferim	ento	Indice de	I Potenz	lale di	Rischio	llque fazione iv	va saki et		Fine	\neg
2002.200	Statiche	(CPT)		(Fs)		37.4 1970000	(M)	Liquetazione (IPL)		al. (1978)							
Rob	ertson e	VVride (1998)	>1,0	> 1,25 (OP	ON 3274)		6,0		(6)	#NUN	M!	#NUM!			EPC LIBRI		
	8000000	ALCOHOLD STATE	100000	COLC IN	-	Verificare	to officerda		_	0.000	<i>A</i>	400000					
Prof.		lo (n =1)	1	o (n=0,5)	(n=0,76)	campione in	lo utilizzato	Fs	Prof.		lo (n=1)		o (n=0,6)	lo (n=0,76)	Verificare campione in	lo utilizzato	Fs
(m)	valore	Classificazione	labre	Classificazione	labre	lab.	labre	labre	(m)	labre	Classificazore	labre	Classificazione	labre	lab.	labre	labre
0,20	N.C.	N.C.	N.C.	N.C.	N.C.	-	N.C.	N.C.	10,20	N.C.	N.C.	NC.	N.C.	NC.	2	N.C.	NC.
0,40	1,59	Granulare	1,82	NPGranulare	1,69	-	1,82	NC.	10,40	N.C.	N.C.	NC.	N.C.	NC.	- 5	N.C.	N.C.
0,60	1,68	Granulare Granulare	1,90	NPGranulare NPGranulare	1,77	0	1,90 2,06	N.C.	10,60	N.C.	N.C.	NC.	N.C. N.C.	NC.	5	N.C. N.C.	NC.
1.00	1.91	Granulare	215	NPGranulare	203	-	215	6.16	11,00	N.C.	N.C.	NC.	N.C.	NC.	- 2	N.C.	NC.
1,20	225	Granulare	250	NPGranulare	237	-	250	2,49	11,20	N.C.	N.C.	NC.	N.C.	NC.	-	N.C.	NC.
1,40	279	Argilloso	3,04	N.L.	N.L	-	N.L	N.L.	11,40	N.C.	N.C.	NC.	N.C.	NC.		N.C.	N.C.
1,60	3,58	Argilloso	3,81	N.L.	N.L	-	N.L	N.L.	11,60	N.C.	N.C.	NC.	N.C.	NC.	-	N.C.	NC.
1,80	3,15	Argilloso	3,36	N.L.	N.L	-	N.L	N.L.	11,80	N.C.	N.C.	NC.	N.C.	NC.	-	N.C.	NC.
2,00	1,99	Granulare	217	NPGranulare	2,07	_	217	NC.	12,00	N.C.	N.C.	NC.	N.C.	NC.	-	N.C.	NC.
2,20	1,72	Granulare Granulare	1,88	NPGranulare NPGranulare	1,80	-	1,88	N.C.	12,20	N.C.	N.C.	NC.	N.C.	NC.	-	N.C.	NC.
2,60	208	Granulare	221	NPGrarulare	214	-	221	NC.	12,60	N.C.	N.C.	NC.	N.C.	NC.	-	N.C.	NC.
2,80	1.93	Granulare	208	NPGranulare	200	-	208	NC.	12.80	N.C.	N.C.	NC.	N.C.	NC.	2	N.C.	NC.
3,00	1,88	Granulare	202	NPGranulare	1,95	2	202	NC.	13,00	N.C.	N.C.	NC.	N.C.	NC.	_	N.C.	NC.
3,20	1,98	Granulare	209	NPGranulare	2,02	-	2,09	N.C.	13,20	N.C.	N.C.	NC.	N.C.	NC.	-	N.C.	NC.
3,40	221	Granulare	2,34	NPGranulare	2,27		2,34	N.C.	13,40	N.C.	N.C.	NC.	N.C.	NC.	-	N.C.	N.C.
3,60	1,92	Granulare	2,06	NPGranulare	1,99	-	2,06	2,01	13,60	N.C.	N.C.	NC.	N.C.	NC.	-	N.C.	NC.
3,80	224	Granulare	238	NPGranulare	2,30	-	2,36	2,98	13,80	N.C.	N.C.	NC.	N.C.	NC.	-	N.C.	NC.
4,00	210	Granulare	2,23	NPGranulare	216	-	223	1,94	14,00	N.C.	N.C.	NC.	N.C.	NC.	-	N.C.	NC.
4,40	1,98	Granulare Granulare	202	NPGranulare NPGranulare	1,97	0	202	2,86	14,40	N.C.	N.C.	NC.	N.C.	NC.	8-	N.C. N.C.	NC.
4,60	1,52	Granulare	1,64	NPGranulare	1,58	_	1.64	2.28	14.60	N.C.	N.C.	NC.	N.C.	NC.	-	N.C.	NC.
4,80	200	Granulare	210	NPGranulare	2,05	-	210	N.C.	14,80	N.C.	N.C.	NC.	N.C.	NC.	-	N.C.	NC.
5,00	211	Granulare	221	NPGranulare	216	-	221	1,41	15,00	N.C.	N.C.	NC.	N.C.	NC.	- 5	N.C.	NC.
5,20	2,47	Granulare	2,56	NPGranulare	2,52	-	2,56	1,50	15,20	N.C.	N.C.	NC.	N.C.	NC.		N.C.	NC.
5,40	2,48	Granulare	2,55	NPGranulae	2,51	-	2,55	1,82	15,40	N.C.	N.C.	NC.	N.C.	NC.	-	N.C.	N.C.
5,60	234	Granulare	2,42	NPGranulare	2,38	-	2,42	1,27	15,60	N.C.	N.C.	NC.	N.C.	NC.	-	N.C.	N.C.
5,80 6,00	256 238	Granulare Granulare	245	PLimoso NPGranulare	2,60	C.Clrese	2,60	N.C. 1,60	15,80	N.C.	N.C.	NC.	N.C.	NC.	-	N.C.	NC.
6,20	278	Argilloso	285	N.L.	N.L	-	N.L	N.L.	16,20	N.C.	N.C.	NC.	N.C.	NC.	- 2	N.C.	NC.
6,40	294	Argilloso	301	N.L.	N.L	_	N.L	N.L.	16.40	N.C.	N.C.	NC.	N.C.	NC.	-	N.C.	NC.
6,60	332	Argilloso	3,38	N.L.	NL	_	N.L	N.L.	16,60	N.C.	N.C.	NC.	N.C.	NC.	2	N.C.	NC.
6,80	267	Argilloso	273	N.L.	N.L	-	N.L	N.L.	16,80	N.C.	N.C.	NC.	N.C.	NC.		N.C.	NC.
7,00	231	Granulare	2,36	NPGranulare	2,33	-	2,36	1,84	17,00	N.C.	N.C.	NC.	N.C.	NC.	-	N.C.	N.C.
7,20	3,30	Argilloso	3,35	N.L.	N.L	-	N.L	N.L.	17,20	N.C.	N.C.	N.C.	N.C.	NC.	- 5	N.C.	N.C.
7,40	4,04	Argilloso	4,09	N.L.	N.L	-	N.L	N.L.	17,40	N.C.	N.C.	NC.	N.C.	NC.	-	N.C.	NC.
7,80	258	Argilloso Granulare	4,28	N.L. PLimoso	N.L 260	C.Cirese	N.L 260	N.L.	17,80	N.C.	N.C.	NC.	N.C.	NC.	-	N.C.	NC.
8,00	238	Granulare	240	NPGranulare	239	College	240	NC.	18,00	N.C.	N.C.	NC.	N.C.	NC.	2	N.C.	NC.
8,20	217	Granulare	219	NPGranulare	218	-	219	NC.	18,20	N.C.	N.C.	NC.	N.C.	NC.	-	N.C.	NC.
8,40	N.C.	N.C.	N.C.	N.C.	N.C.	-	N.C.	NC.	18,40	N.C.	N.C.	NC.	N.C.	NC.	-	N.C.	NC.
8,60	N.C.	N.C.	N.C.	N.C.	N.C.	-	N.C.	NC.	18,60	N.C.	N.C.	NC.	N.C.	NC.	-	N.C.	NC.
8,80	N.C.	N.C.	N.C.	N.C.	N.C.	-	N.C.	NC.	18,80	N.C.	N.C.	NC.	N.C.	NC.	- 5	N.C.	NC.
9,00	N.C.	N.C.	N.C.	N.C.	N.C.	-	N.C.	NC.	19,00	N.C.	N.C.	NC.	N.C.	NC.	-	N.C.	N.C.
9,20	N.C.	N.C.	N.C.	N.C.	N.C.	-	N.C.	NC.	19,20	N.C.	N.C.	NC.	N.C.	NC.	-	N.C.	NC.
9,40	N.C.	N.C.	N.C.	N.C. N.C.	N.C. N.C.	_	N.C.	N.C.	19,40 19,60	N.C.	N.C. N.C.	NC.	N.C. N.C.	NC.	_	N.C. N.C.	NC.
9,80	N.C.	N.C.	N.C.	N.C.	N.C.	-	N.C.	NC.	19,80	N.C.	N.C.	NC.	N.C.	NC.	-	N.C.	NC.
10,00	N.C.	N.C.	N.C.	N.C.	N.C.	-	N.C.	NC.	20,00	N.C.	N.C.	NC.	N.C.	NC.	-	N.C.	NC.
																	_

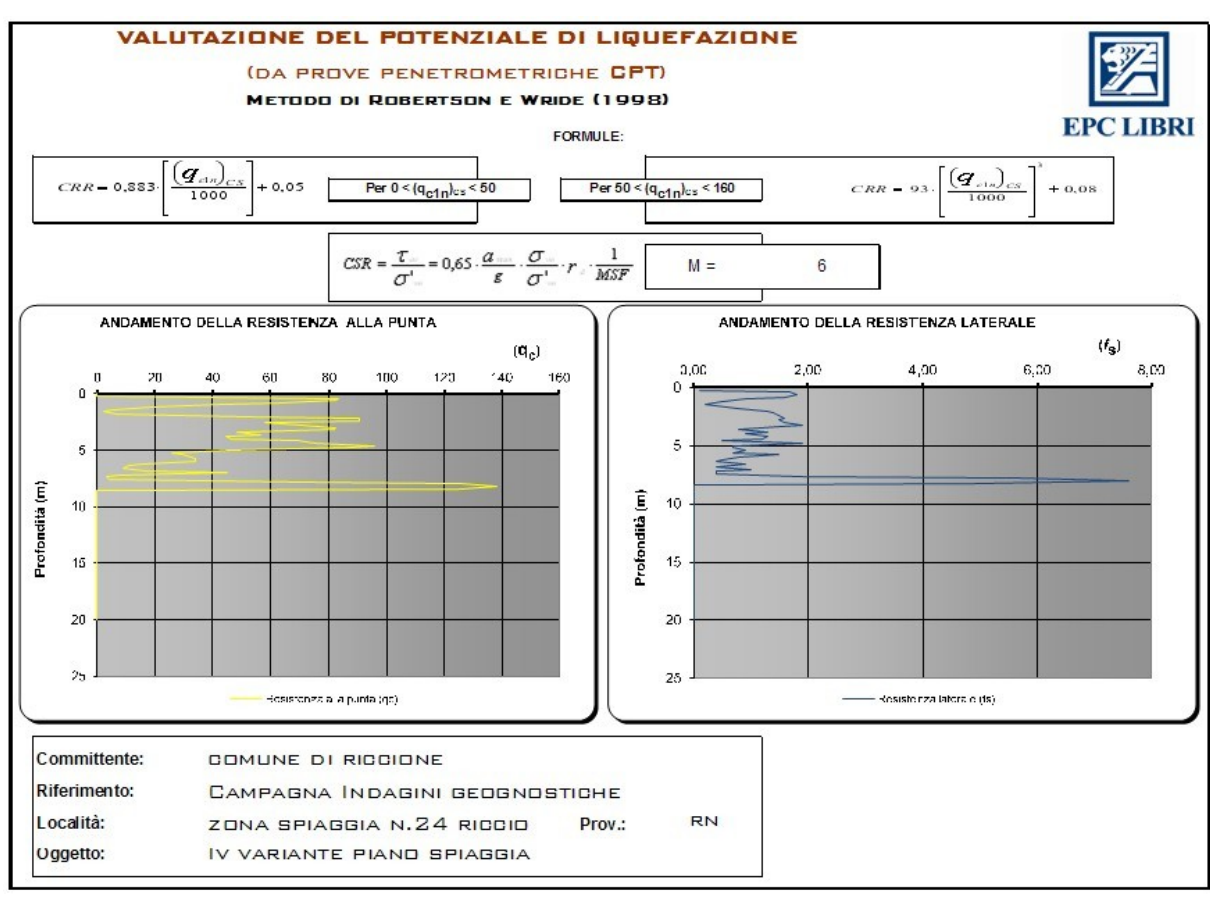
Prov.:

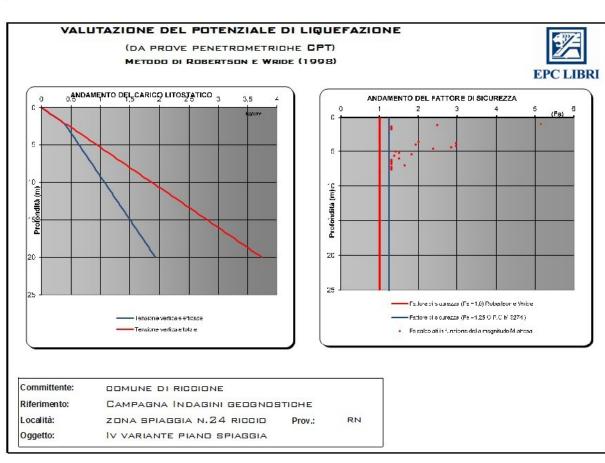
N.C. - Non Calcolabile

N.L. = Non Liquefacibile Pilmoso = Terreno Limoso e possibilmente Plastico NPG ranula re - Terreno non Plastico di natura granulare

Argilloso -C. Čnese -Granulare - Terreno Argilibso Criteri Cinese Terreno Granulare Nessun Criterio

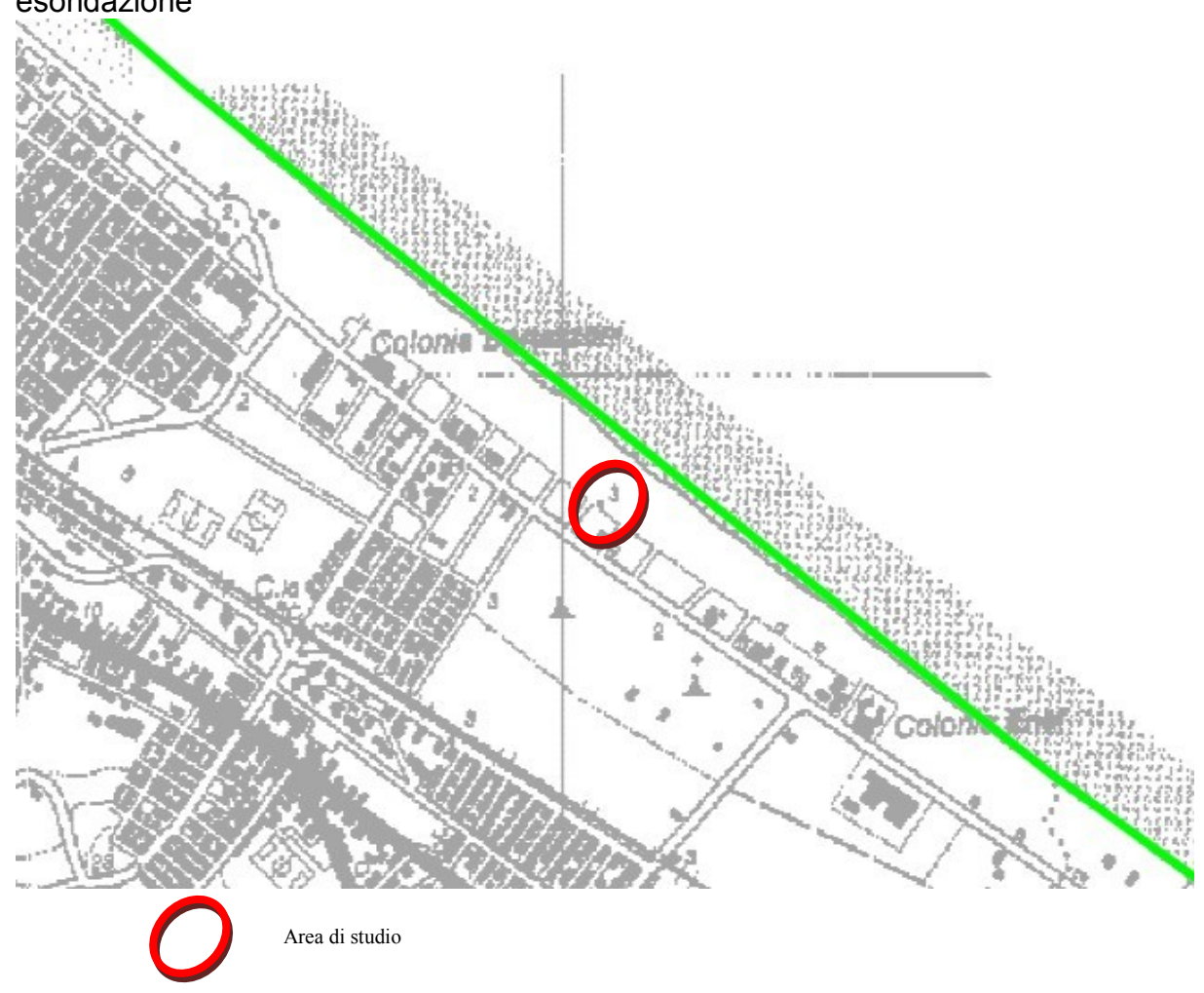
29



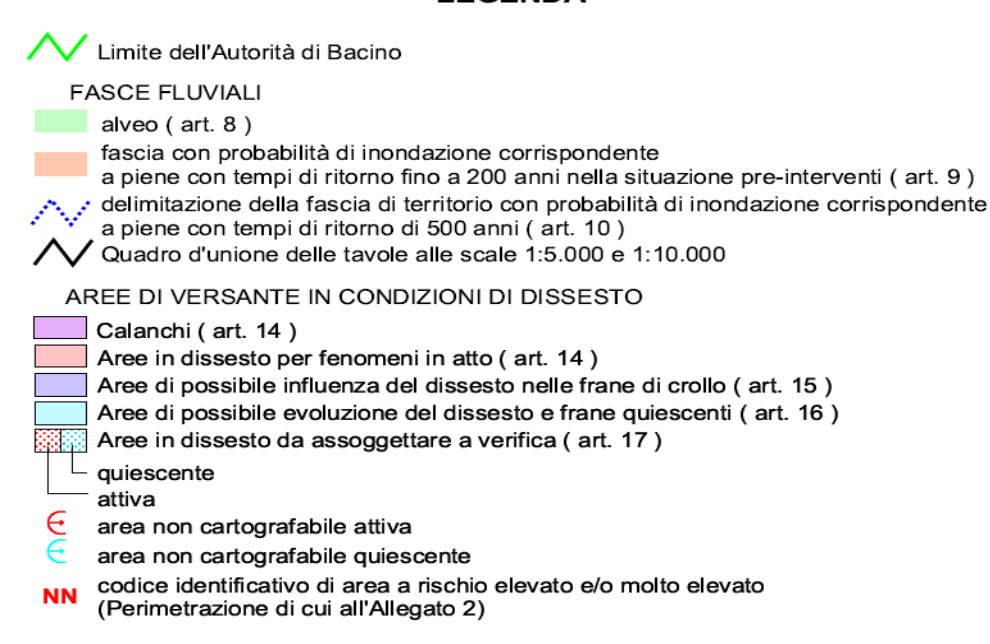


VERIFICA CON IL PIANO ASSETTO IDROGEOLOGICO (P.A.I.)

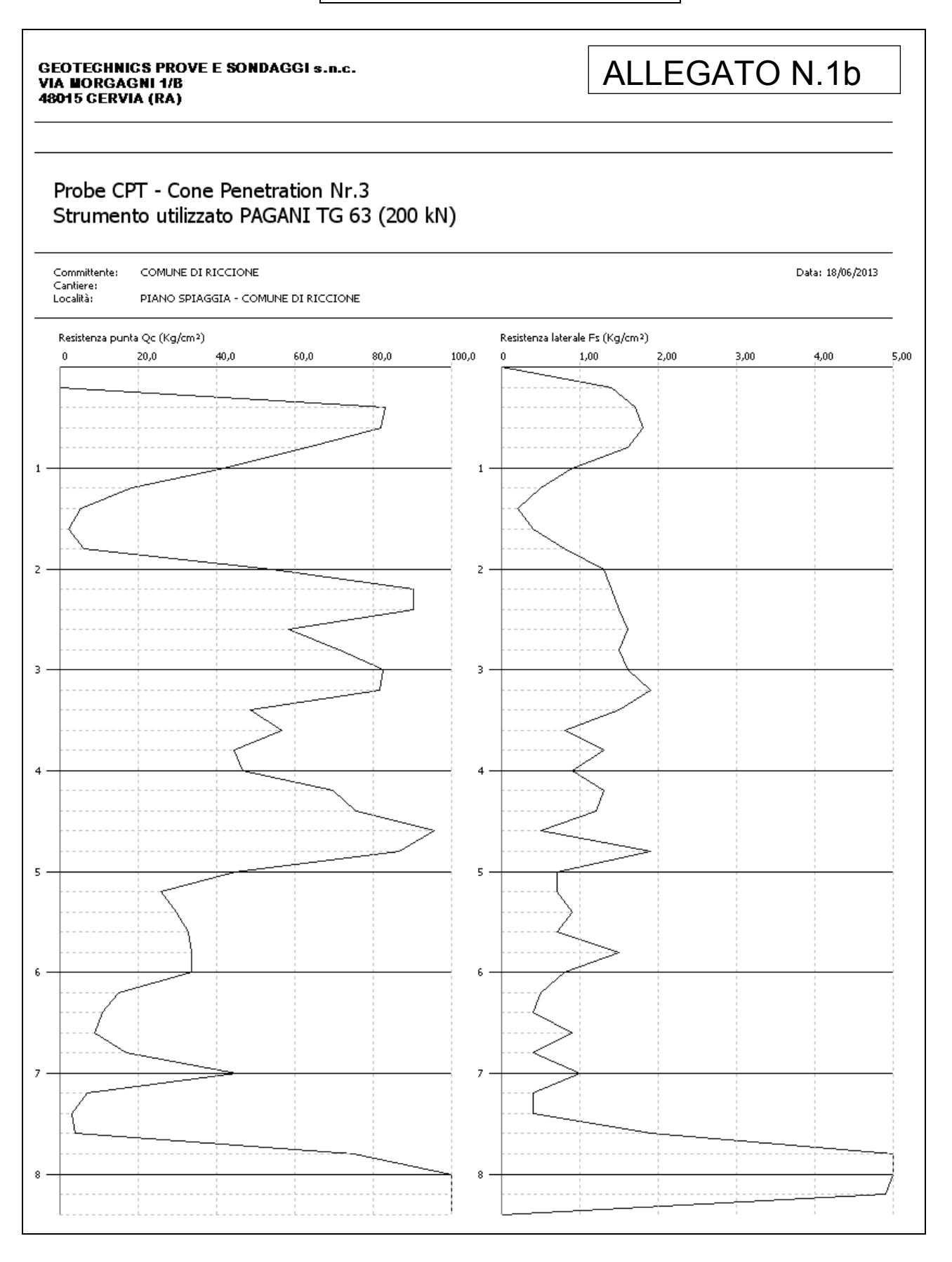
L'area in oggetto non ricade nella cartografia P.A.I. in area a rischio di esondazione



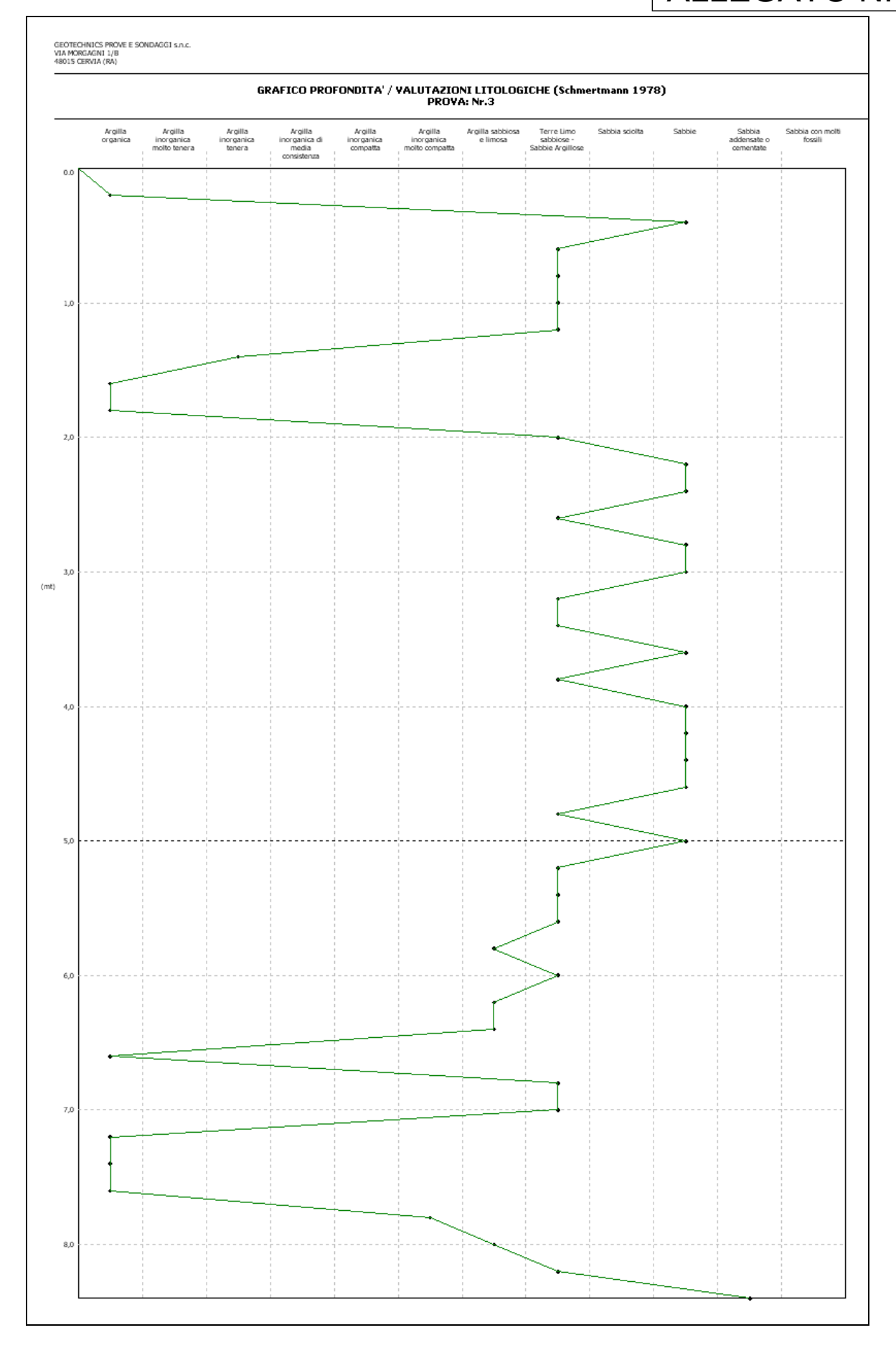
LEGENDA



ALLEGATI ZONA SPIAGGIA N.24:



ALLEGATO N. 2b



ALLEGATO N. 3b



Dott.Geologo Giancarlo Faina

CANTIERE: RICCIONE (RN)- ZONA 24 DATA: GIUGNO 2013 Sondaggio n.1 campione n. 1 profondità mt.: 3.40

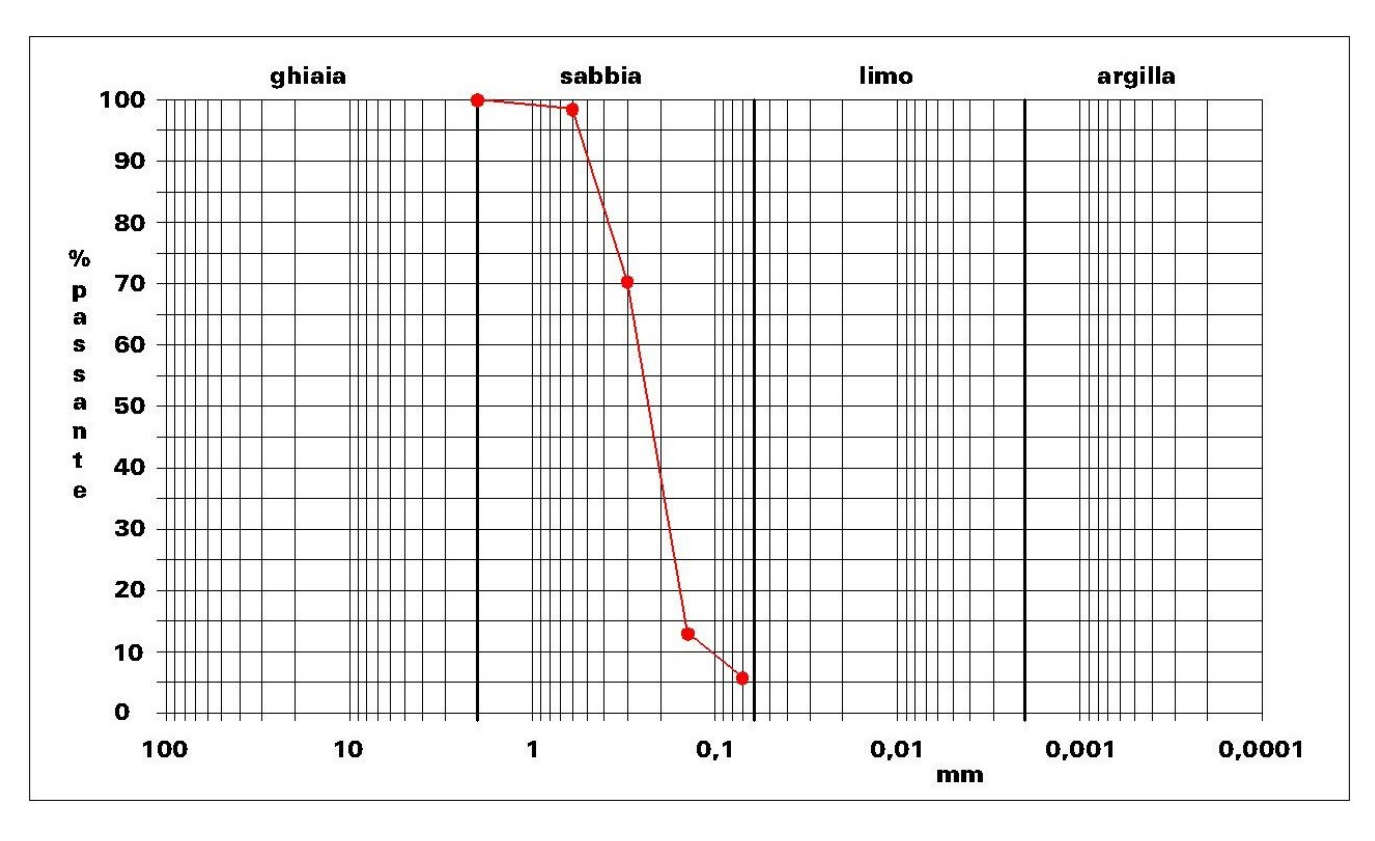
ANALISI GRANULOMETRICA

Metodo della prova: setacciatura

Stato del campione: disturbato Peso secco: 245.82 gr.

Setacci A.S.T.M. n.	Luce netta mm.	Passante%
10	2.000	100,00
30	0,600	98,35
50	0,300	70,12
100	0,150	13,10
200	0.075	5,10

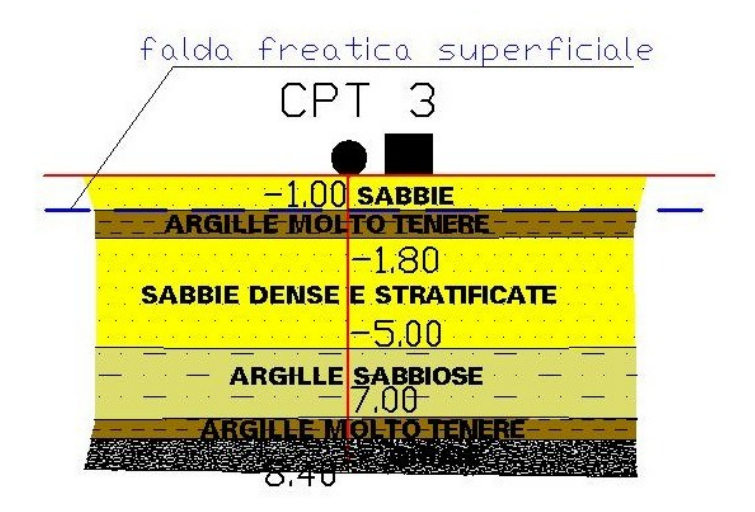
Descrizione	Ghiaia	Sabbia	Limi
e argilla			
(Classificazione A.G.I.)	%	%	%
Sabbia	"	94.9	5.1



ALLEGATO N.4b COMUNE DI RICCIONE ZONA SPIAGGIA N.24

SEZIONE GEOLOGICA

SCALA 1:200



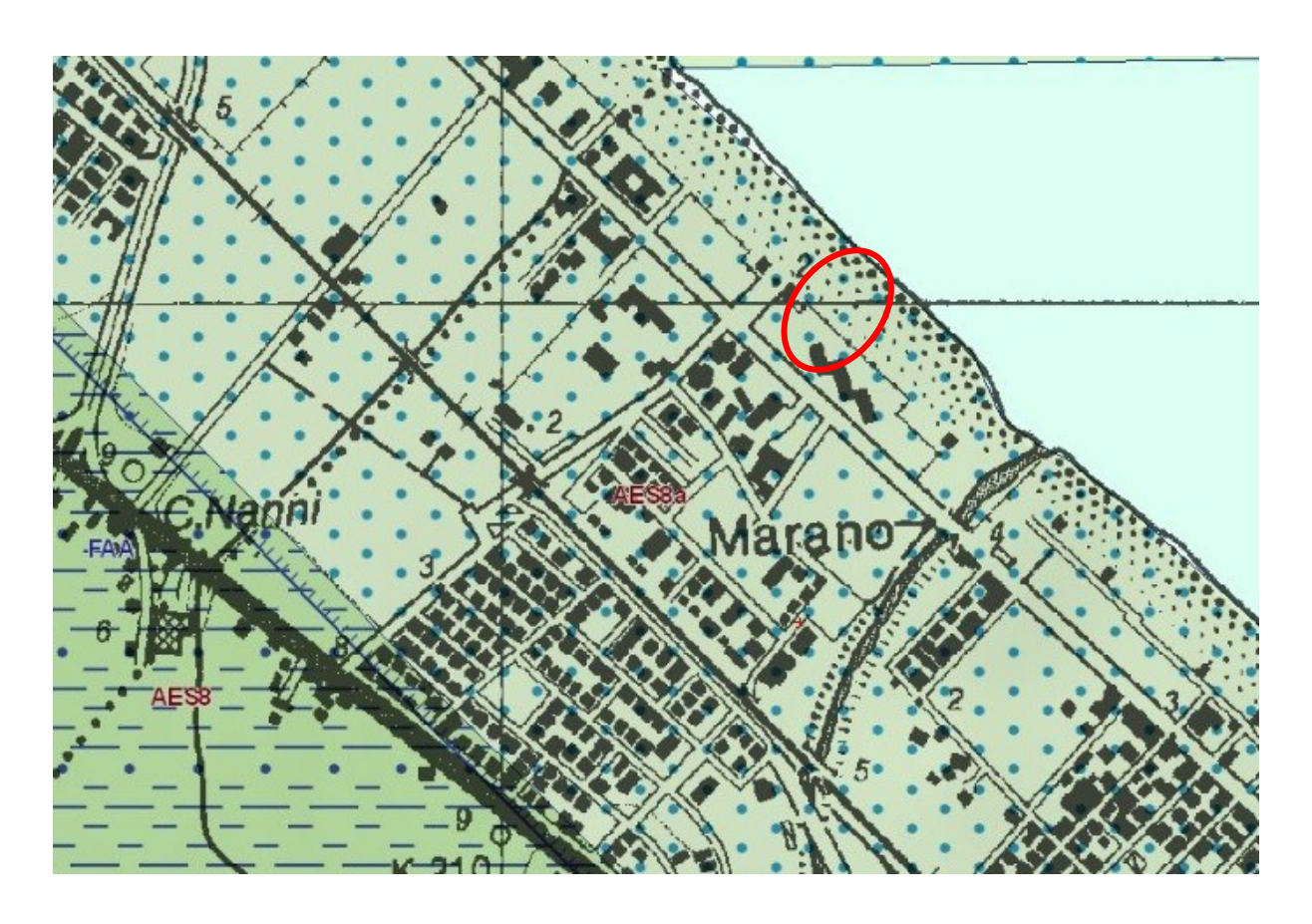
- Sondaggio penetrometrico statico CPT
- Prova sismica (TROMOGRAFO)
- — Falda freatica superficiale

ZONA DI SPIAGGIA LIBERA N.142-143-144

GEOLOGIA E GEOMORFOLOGIA

L'area in studio è rappresentata nella Carta Geologica d'Italia nella Carta Geologica dell'Emilia Romagna nelle sezioni 256160 denominata RICCIONE MARINA. Le aree sono rappresentate dall'Unità di Modena.

CARTA GEOLOGICA EMILIA ROMAGNA - 1:10.000 SEZIONE 256160 "RICCIONE MARINA"





Area in studio

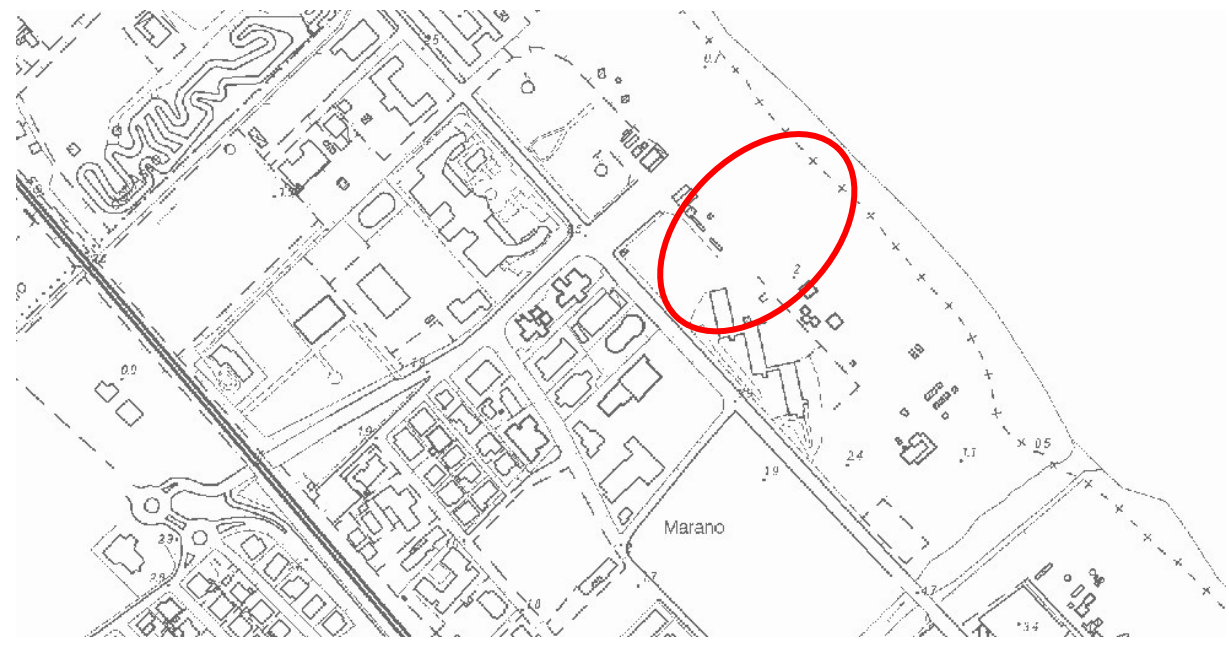


UNITA DI MODENA Ghiaie, sabbie, limi ed argille di cordone litorale (Età: Olocene) **AES8a**



SUBSINTEMA DI RAVENNA Depositi alluvionali (Olocene) AES8

PLANIMETRIA ZONE 142-143-144 SPIAGGIA DI RICCIONE



Zona n.6 spiaggia di Riccione in oggetto

Le coordinate WSG84 di tale zona sono: LAT: 44.022416° LONG: 12.634948°





Prove penetrometriche statiche CPT Prova sismica passiva (Tromografo) Sezione geologica

STRATIGRAFIA E IDROGRAFIA

Dall'elaborazione dei dati ottenuti dai sondaggi penetrometrici statici eseguiti si può ritenere la seguente stratigrafia:

SONDAGGIO STATICO N.1:

- dal p.c. a circa mt.-3.20:

SABBIE ADDENSATE E STRATIFICATE

- da circa mt. –3.20 a circa mt.-3.80: **ARGILLE MOLTO TENERE**
- da circa mt. –3.80 a circa mt.-5.80: **SABBIE**;
- da circa mt. –5.80 a circa mt.-6.40: **ARGILLE MOLTO TENERE**;
- da circa mt. –6.40 a circa mt.-11.00: **ARGILLE**
- da circa mt. –11.00 a circa mt.-14.00: ARGILLE SABBIOSE

SONDAGGIO STATICO N.2:

- dal p.c. a circa mt.-5.60:

SABBIE ADDENSATE E STRATIFICATE

- da circa mt. –5.60 a circa mt.-7.60: **SABBIE**:
- da circa mt. –7.60 a circa mt.-12.00: **ARGILLE**

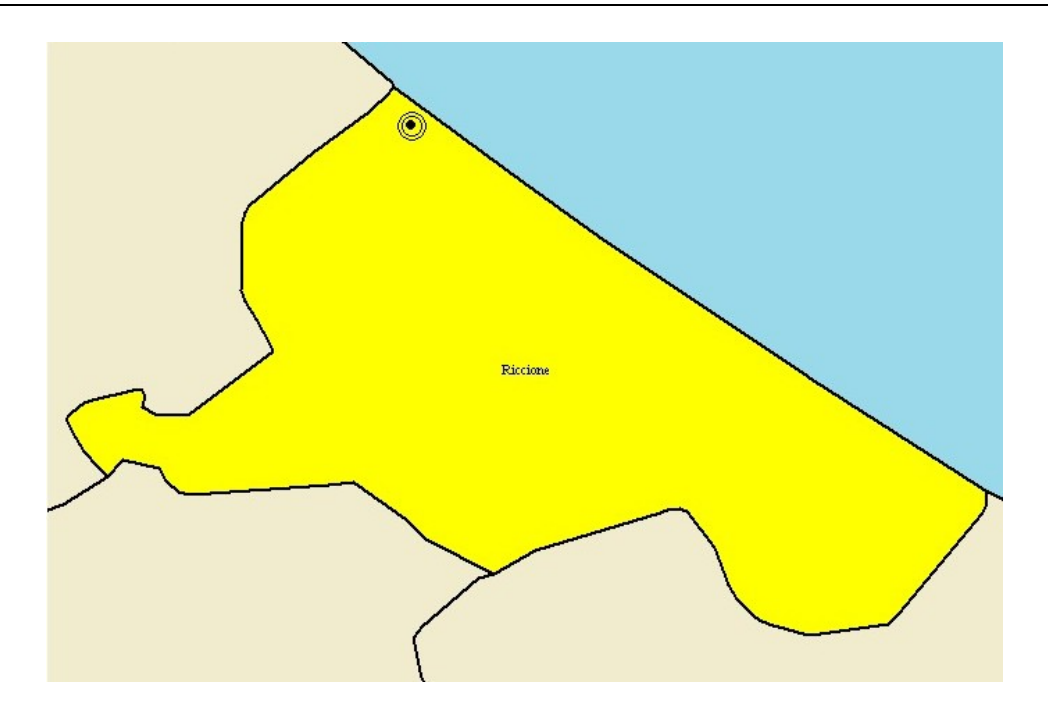
La falda freatica è stata rilevata nelle prove penetrometriche ad una profondità di - 1.20 metri dal piano campagna.

Accelerazione sismica

L'Istituto Nazionale di Geofisica e Vulcanologia fornisce una mappatura di grande dettaglio di tutta Italia in cui viene fornita l'accelerazione delle onde sismiche (in intervalli) in funzione del tipo di terreno presente.

Consultando la mappa e conoscendo le coordinate del sito è possibile consultare i dati di dettaglio e ricava che il punto più vicino al sito di riferimento ha caratteristiche:

Comune di Riccione - Coordinate sito (Datum - ED50) : Longitudine = 12.6359° ; Latitudine = 44.0234°								
Punti della maglia:	18968 18969 1	9190 19191						
Valori dei parametri ag, Fo, Tc* per i p	periodi di ritorno TR	associati a cias	cun Stato Limite					
STATO LIMITE TR [anni]	ag [g]	Fo	Tc* [s]					
SLO 30	0.049	2.431	0.274					
SLD 50	0.064	2.537	0.277					
SLV 475	0.184	2.484	0.296					
SLC 975	0.238	2.521	0.310					



Calcolo Vs₃₀ e assegnazione categoria

Per il calcolo delle Vs₃₀ è stata effettuata una misura di rumore sismico in prossimità del sondaggio penetrometrico n. 1 effettuato. In particolare sono stati registrati 20 minuti di rumore lungo le direzioni N-S, E-W, U-D con frequenza di campionamento di 100 Hz. I dati sono stati poi analizzati con la tecnica HVRS secondo la quale si calcola il rapporto delle componenti orizzontali rispetto a quelle verticali per mettere in evidenza le frequenze di risonanza del terreno. A partire dalla relazione di Nakamura:

$$v = \frac{V_S}{4h}$$

conoscendo la profondità delle interfacce degli strati (dalla prova penetrometrica n.1) e conoscendo le frequenze di risonanza (dalle prove sismiche passive) è possibile calcolare le Vs.

Di seguito è riportato il risultato della prova:

Sono presenti diversi picchi:

- I picchi 32.58Hz e 24.03Hz che rappresenta il terreno superficiale;
- Il picco a 13.07 Hz che corrisponde allo strato a –3.20 metri di profondità;
- Il picco a 9.11 Hz che corrisponde allo strato a -5.80 metri di profondità;
- Il picco a 6.59 Hz che corrisponde allo strato a -6.40 metri di profondità;

- Il picco a 3.63 Hz che corrisponde allo strato a -11.00 metri di profondità;
- Il picco a 2.52 Hz che corrisponde allo strato a circa -20.00 metri di profondità;
- sotto i -20.00 metri le Vs si stabilizzano a circa 250 m/s come da bibliografia dei terreni limitrofi.

Per cui, riassumendo:

Le Vs fino a -3.20 metri sono stimate: 4 * 13.07 * 3.20 = 167m/s;

fino a -5.80 metri: 4 * 9.11 * 5.80 = 211 m/s;

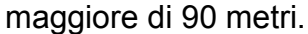
fino a -6.40 metri: 4 * 6.59 * 6.40 = 168 m/s;

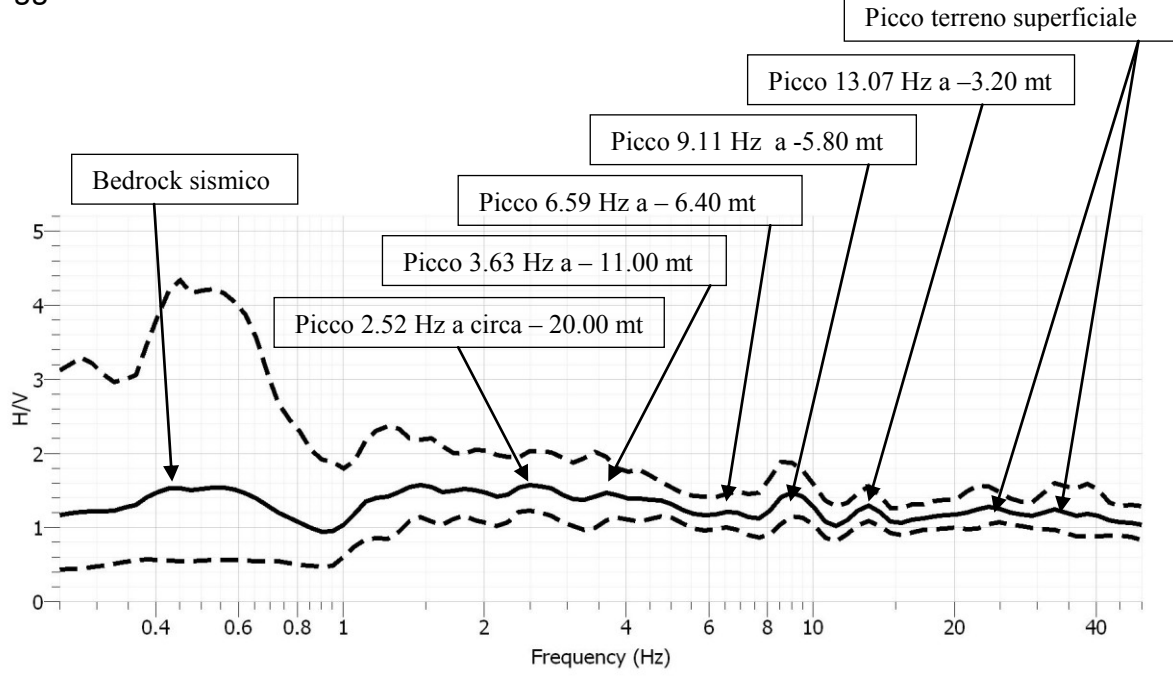
fino a -11.00 metri: 4 * 3.63 * 11.00 = 160 m/s;

fino a circa -20.00 metri: 4 * 2.52 * 20.00 = 201 m/s;

Sotto -20.00 metri gli strati si stabilizzano e le Vs viaggiano, da bibliografi, a 250 m/s;

Il bedrock che si trova a una frequenza di 0.43 Hz è riscontrato ad una profondità





0.00 -3.20 metri	167 m/s
-3.20 – 5.80 metri	211 m/s
-5.80 –6.40 metri	168m/s
-6.40 – 11.00 metri	160 m/s
-11.00 – 20.00 metri	201 m/s
-20.00 – 30.00 metri	250 m/s

Essendo le Vs_{30} stimate 202 m/sec il terreno può essere classificato come appetente alla <u>categoria C.</u>

La doppia risonanza

Come si evidenzia dal diagramma H/V nella misura di sismica passiva, il terreno preso in esame presenta diversi picchi significativi con 1.42 Hz, 2.52Hz e 9.11 Hz. Questi picchi corrispondono a delle frequenze di risonanza, frequenza alle quale le onde sismiche che attraversano il terreno vengono amplificate.

E' fondamentale evitare che si verifichi il caso della doppia risonanza, caso in cui la frequenza di risonanza del terreno coincide con la frequenza di risonanza dell'edificio.

In caso di terremoto le conseguenze sarebbero piuttosto serie. Per gli edifici costruiti si può calcolare la frequenza di risonanza dell'edificio stesso facendo delle misure si sismica passiva in sito. Dove non è stato costruito, se ne può ipotizzare l'ordine di grandezza tramite la relazione empirica:

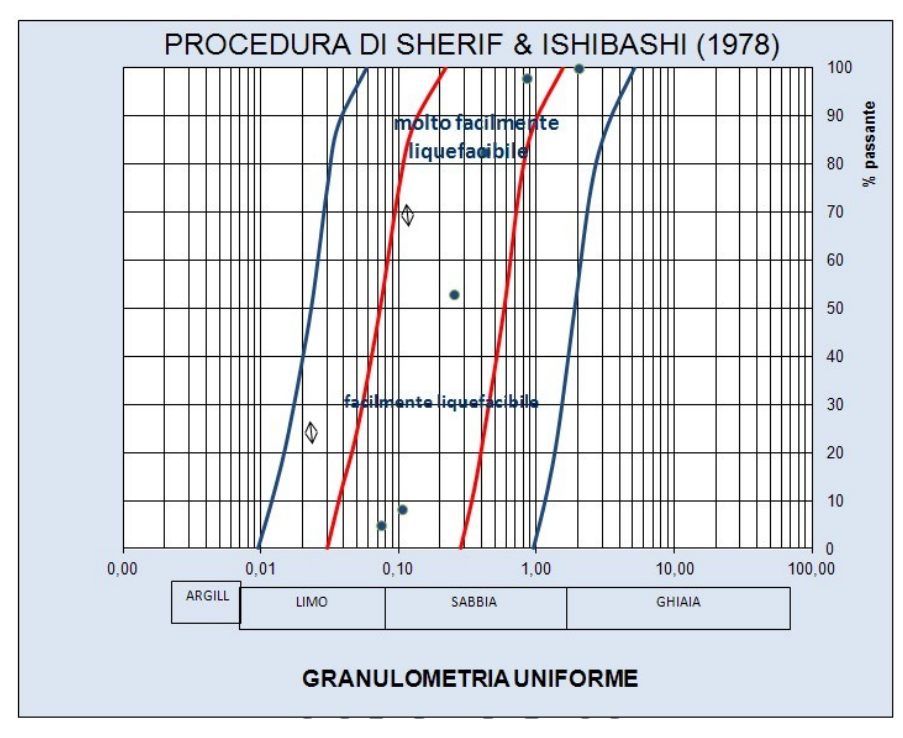
E' previsto un edificio di un 1 piano che risuona a circa 10Hz. Bisogna sottolineare che <u>questa valutazione è puramente indicativa e serve solo ad escludere la doppia risonanza in termini di ordini di grandezza.</u>

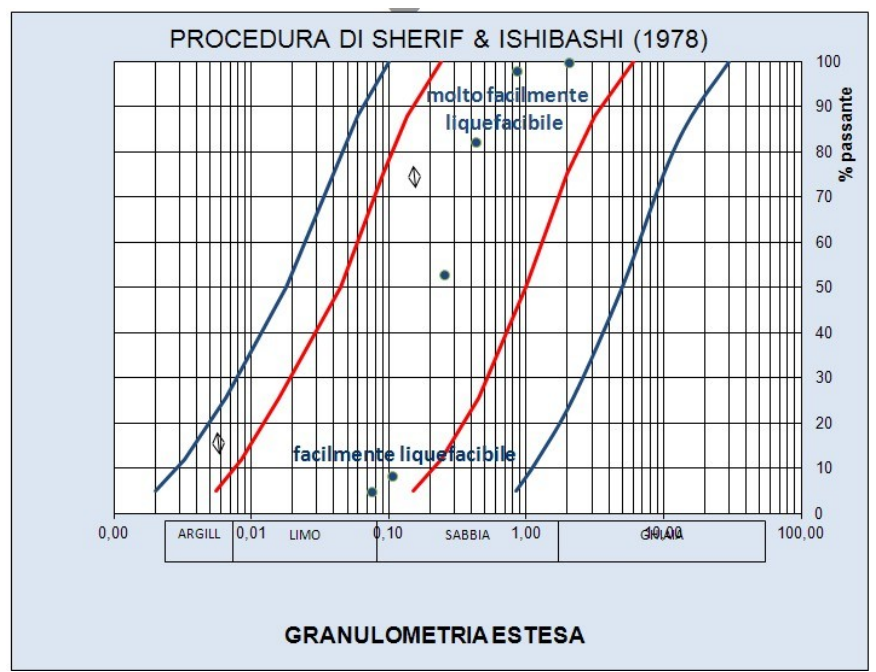
LIQUEFAZIONE DEI TERRENI SABBIOSI PRESENTI

Per valutare il rischio liquefazione è stato seguito un sondaggio penetrometrico statico CPT n.1 (allegato n.1c) con prelievo di campione di sabbie disturbato alla profondità di -3.40 metri sul quale sono state eseguite le analisi granulometriche (allegato n.5c).

La granulometria dei campioni di sabbia prelevati a -2.80 metri di profondità presentano fusi granulometrici ricadenti in quelli liquefacibili.

CAMPIONE 1 prova penetrometrica n.1 (profondità 2.80 metri)





Visto che le sabbie rientrano nei fusi con possibile liquefazione si è proceduto all'analisi della liquefazione con il calcolando del coefficiente di sicurezza Fs secondo il D.M. 14/01/08:

$$Fs = \frac{CRR}{CSR}MSF$$

dove:

CRR=resistenza normalizzata; CSR=tensione indotta dal terremoto MSF=fattore di scala funzione della magnitudo dei terremoti attesi.

A partire dai dati di campagna ottenuti con la prova penetrometrica statica si è eseguito il calcolo per la valutazione del rischio liquefazione. In particolare si è utilizzato il metodo di calcolo di Robertson e Wride (1998) che calcola il fattore di sicurezza Fs per ogni livello di misura ottenuto dalla penetrometria statica eseguita.

Il fattore di sicurezza Fs è il rapporto tra le resistenze disponibili nel terreno e le sollecitazioni a cui esso può essere soggetto (che possono poi portare a liquefazione).

Nel calcolo previsto da tale metodo, oltre ai risultati ottenuti dalla prova, sono presenti altre variabili che sono state assegnate come riportato in tabella in base al O.P.C.M. del 20/03/2003:

a _{max} /g	0,25 (zona 2)
Magnitudo di riferimento	6
γ(peso specifico in Kg/cm²)	1,90

Come richiesto dal O.P.C.M. del 20/03/2003, il fattore di sicurezza risulta maggiore di 1.25.

Possiamo quindi concludere che le sabbie presenti nell'area in oggetto non sono a rischio liquefazione al magnitudo di riferimento 6.

Committente: DOMUNE DI RIDDIONE

Riferimento: CAMPAGNA INDAGINI GEOGNOSTICHE ZONA 24 SPIAGGIA DI RIDDIONE

Oggetta IV VARIANTE PIAND EPIAGGIA Prov.: RM

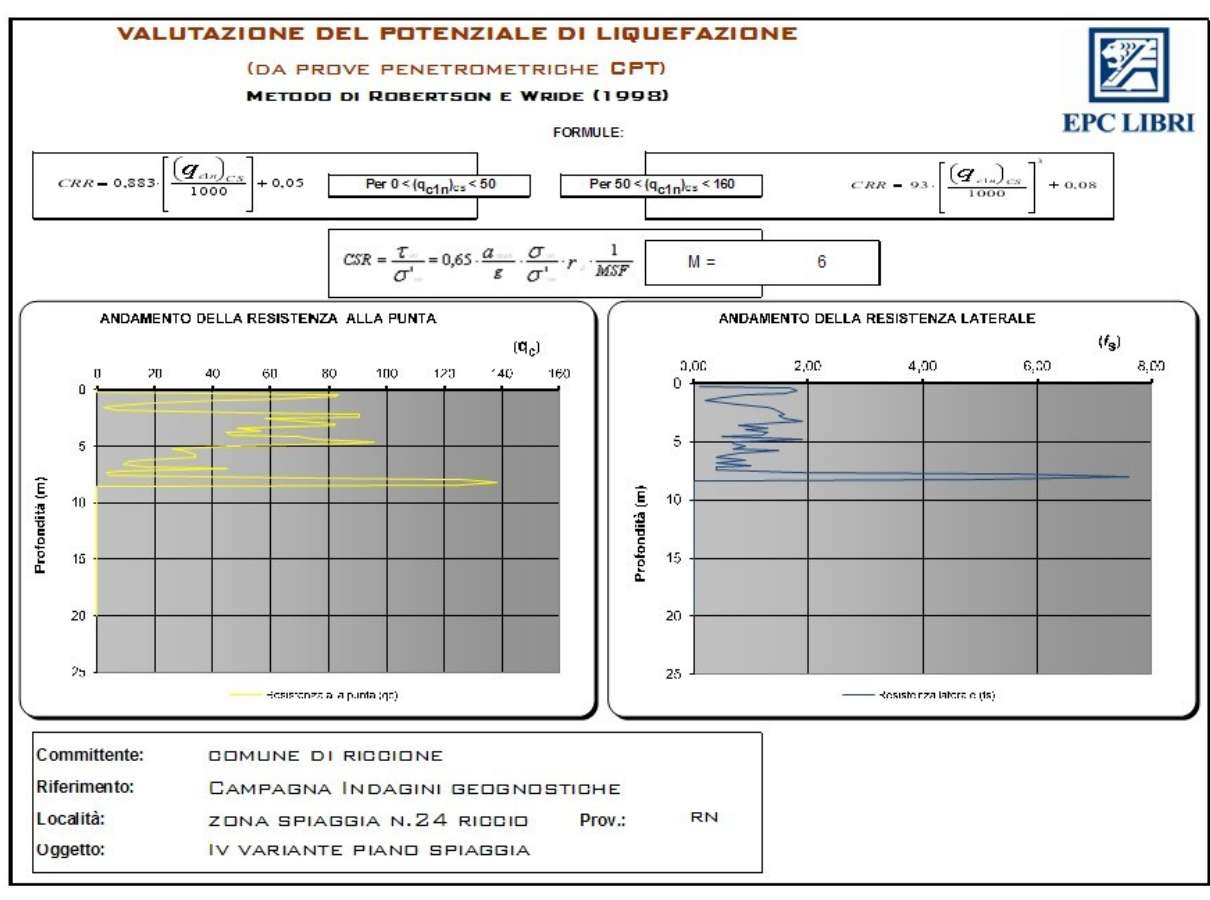
ANALISI

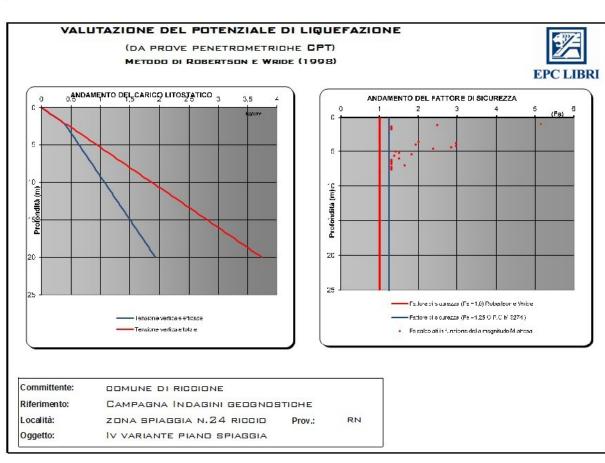
					1 1 7 1	At District to Detect to the Control of the Control										
Metodi che utilizzano Prove Fattore di sicurezza			Magnitu	Made			Rischio liquefazione Iwasaki et			47/						
	Statiche (CPT) (Fs)			(M)		Liquefazione (IP _L)		al. (1978)								
Rob	Robertson e Wride (1998) > 1,0 > 1,25 (OPCM 2274)			6,0			#NU	M!		#NUM!		EPC LIBRI				
Prof.	Prof. lo (n=1) lo (n		o (n=0,6)	lo (n=0,76)	Verificare campione in	lo utilizzato	Fs	Prof.		lo (n=1)	À	io (n=0,6)	lo (n=0,76)	Verificare campione in	lo utilizzato	
(m)	lalore	Classificazione	labre	Classificazione	valore	lab.	labre	labre	(m)	valore	Classificazione	labre	Classificazione	valore	lab.	labre
0,20	1,68	Argilloso	5,97 1,91	N.L. NPGranulare	N.L. 1,78		N.L 1.91	N.L.	10,20	2,84 3,01	Arglioso	3,00	NL.	NL.	-	N.L N.L
0,60	1,72	Granulare Granulare	1,94	NPGranuare NPGranuare	1,82		1,91	NC.	10,40	3,14	Argiloso Argiloso	3,14	NL.	NL.		N.L
0,80	1,52	Granulare	1,71	NPGranulare	1,61		1,71	NC.	10,80	3,12	Argilloso	3,11	NL.	NL.	-	N.L
1,00	1,65	Granulare	1,85	NPGranulare	1,74		1,85	NC.	11,00	3,08	Argilloso	3,07	NL.	NL.	-	N.L
1,20	1,83	Granulare	202	NPGranulare NPGranulare	1,92		202	NC.	11,20	2,98	Arglioso	2,97	NL.	NL.	-	N.L N.L
1,40	1,81	Granulare Granulare	201	NPGranuare NPGranulare	1,90	_:-	201	NC.	11,40	2,78	Argilloso Argilloso	276	NL.	NL.	-	N.L
1,80	1,74	Granulare	1,92	NPGranulare	1,83		1,92	NC.	11,80	2,75	Argiloso	2,73	NL.	NL.	-	N.L
2,00	1,78	Granulare	1,96	NPGranulare	1,86		1,96	NC.	12,00	2,88	Argilloso	2,86	NL.	NL.	2	N.L
2,20	2,01	Granulare	219	NPGranulare	2,10	-	219	3,18	12,20	2,95	Arglioso	2,93	NL.	NL.	-	N.L
2,40	1,77	Granulare Granulare	1,94	NPGranulare NPGranulare	1,85	-:-	1,94	2,89	12,40	2,87	Argiloso Argiloso	2,85	NL.	NL.	-	N.L N.L
280	2,12	Granulare	227	NPGranulare	2,19		227	3,80	12,80	2,81	Argilloso	278	NL.	NL.	1 2	N.L
3,00	2,09	Granulare	2,24	NPGranulare	2,16	22	2,24	2,08	13,00	2,77	Argilloso	274	NL.	NL.	2 -	N.L
3,20	2,30	Granulare	2,45	NPGranulare	2,37	- 8	2,45	1,81	13,20	2,76	Arglioso	2,72	NL.	NL.	-	NL
3,40	3,10	Argilloso	3,25	N.L.	NL.		N.L	N.L.	13,40	2,73	Arglioso	2,69	NL.	NL.	-	N.L
3,60	3,24	Argilloso	3,36	N.L.	NL.		N.L	N.L.	13,60	2,97	Arglioso	2,93	NL.	NL.	7 5	N.L
3,80 4,00	2,43	Granulare Granulare	2,55	NPGranulare NPGranulare	2,49		255	N.C. 2.85	14,00	2,89 #NUM!	Argilloso #NU/I!	2,85 #NUM!	NL.	NL. #NU//!	#NUM!	N.L #NUM!
4,20	1,96	Granulare	2,07	NPGranulare	2,01		2,07	NC.	14,20	N.C.	N.C.	NC.	N.C.	N.C.	-	NC.
4,40	1,90	Granulare	2,02	NPGranulare	1,96		2,02	1,87	14,40	N.C.	N.C.	NC.	N.C.	N.C.	-	NC.
4,60	2,21	Granulare	231	NPGranulare	2,28		2,31	2,88	14,60	N.C.	N.C.	NC.	N.C.	N.C.	-	NC.
4,80 5,00	1,63	Granulare Granulare	1,75	NPGranulare NPGranulare	1,69		1,75	1,58	14,80	N.C.	N.C.	NC.	N.C.	N.C.	-	NC.
5.20	2,95	Argilloso	3.04	N.L.	NL.	- 1	N.L	N.L.	1520	N.C.	N.C.	NC.	N.C.	N.C.		NC.
5,40	2,55	Granulare	264	PLimoso	2,60	0.0hese	260	NC.	15,40	N.C.	N.C.	NC.	N.C.	N.C.	-	NC.
5,60	2,28	Granulare	236	NPGranulare	2,32	V.	2,36	1,82	15,60	N.C.	N.C.	NC.	N.C.	N.C.		NC.
5,80	2,75	Argilloso	2,85	N.L.	NL.		N.L	N.L.	15,80	N.C.	N.C.	NC.	N.C.	N.C.	-	NC.
6,00	3,31	Argilloso	3,39	N.L.	NL.	- :-	N.L N.L	N.L.	16,00	N.C.	N.C.	NC.	N.C.	N.C.	4 -	NC.
6,40	2.80	Argilloso Argilloso	287	N.L.	NL.	Ü	N.L	N.L.	16,20	N.C.	N.C.	NC.	N.C.	N.C.	3	NC.
6,60	2,81	Argilloso	287	N.L.	NL.		N.L	N.L.	16,60	N.C.	N.C.	NC.	N.C.	N.C.	-	NC.
6,80	2,10	Granulare	217	NPGr anulare	2,13		2,17	1,28	16,80	N.C.	N.C.	NC.	N.C.	N.C.	-	NC.
7,00	2,81	Argilloso	2,88	N.L.	NL.		N.L	N.L.	17,00	N.C.	N.C.	NC.	N.C.	N.C.	-	NC.
7,20 7,40	2,10	Granulare Applican	216 282	NPGranulare N.L.	2,13 NL.		216 N.L	1,12 N.L.	17,20 17,40	N.C.	N.C.	NC.	N.C. N.C.	N.C.		NC.
7,60	2,77	Argilloso Argilloso	282	N.L.	NL.		N.L	N.L.	17,60	N.C.	N.C.	NC.	N.C.	N.C.	-	NC.
7,80	2.72	Argilloso	278	N.L.	NL.		N.L	N.L.	1720	N.C.	N.C.	NC.	N.C.	N.C.	-	NC.
8,00	2,88	Argilloso	2,92	N.L.	NL.		N.L	N.L.	18,00	N.C.	N.C.	NC.	N.C.	N.C.	-	NC.
8,20	2,84	Argilloso	2,87	N.L.	NL.	-	N.L	N.L.	18,20	N.C.	N.C.	NC.	N.C.	N.C.	-	NC.
8,40	2,85	Argilloso	2,88	N.L.	NL.		N.L	N.L.	18,40	N.C.	N.C.	NC.	N.C.	N.C.	-	NC.
8,80	3,02	Argilloso Argilloso	3,05	N.L.	NL.		N.L N.L	N.L.	18,50	N.C.	N.C.	NC.	N.C.	N.C.	-	NC.
9,00	3,11	Argilloso	3.13	N.L.	NL.	2	N.L	N.L.	19,00	N.C.	N.C.	NC.	N.C.	N.C.	3	NC.
9,20	2,98	Argilloso	3,00	N.L.	NL.		N.L	N.L.	19,20	N.C.	N.C.	NC.	N.C.	N.C.	2	NC.
9,40	2,92	Argilloso	2,93	N.L.	NL.		N.L	N.L.	19,40	N.C.	N.C.	NC.	N.C.	N.C.	-	NC.
9,60	2,80	Argilloso	2,81	N.L.	NL.		N.L	N.L.	19,60	N.C.	N.C.	NC.	N.C.	N.C.	-	NC.
9,80	3,04	Argilloso Argilloso	3,05	N.L. N.L.	NL. NL.	:	N.L N.L	N.L.	19,80	N.C.	N.C.	NC.	N.C. N.C.	N.C.	1	NC.
10,00	3,04	region	2/02	Ph. Sec	No.		15.5	MA.	20,00	PKA.	PLAN.	NV.	PEAL.	PLAN.		NO.

Non Calcolabile N.C. -

N.L. = Non Liquefacibile
Pilmoso = Terreno Limoso e possibilmente Plastico NPG ranulare - Terreno non Plastico di natura granulare

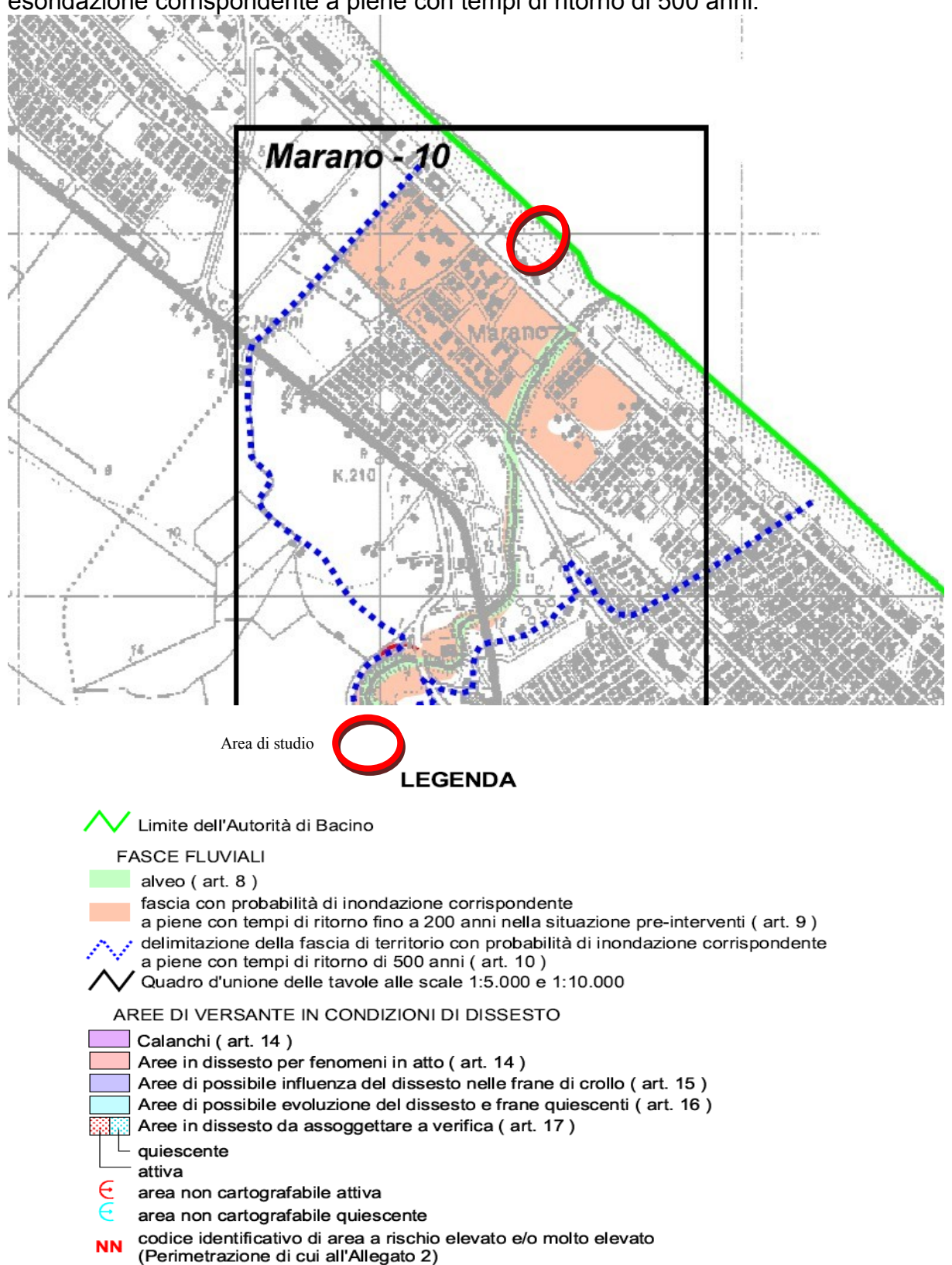
Argilloso = C. Čnese -Granulare - Terreno Argilloso Criteri Cinese Terreno Granulare Nessun Criterio





VERIFICA CON IL PIANO ASSETTO IDROGEOLOGICO (P.A.I.)

L'area in oggetto ricade ricade nella cartografia P.A.I. in area com probabilità di esondazione corrispondente a piene con tempi di ritorno di 500 anni.



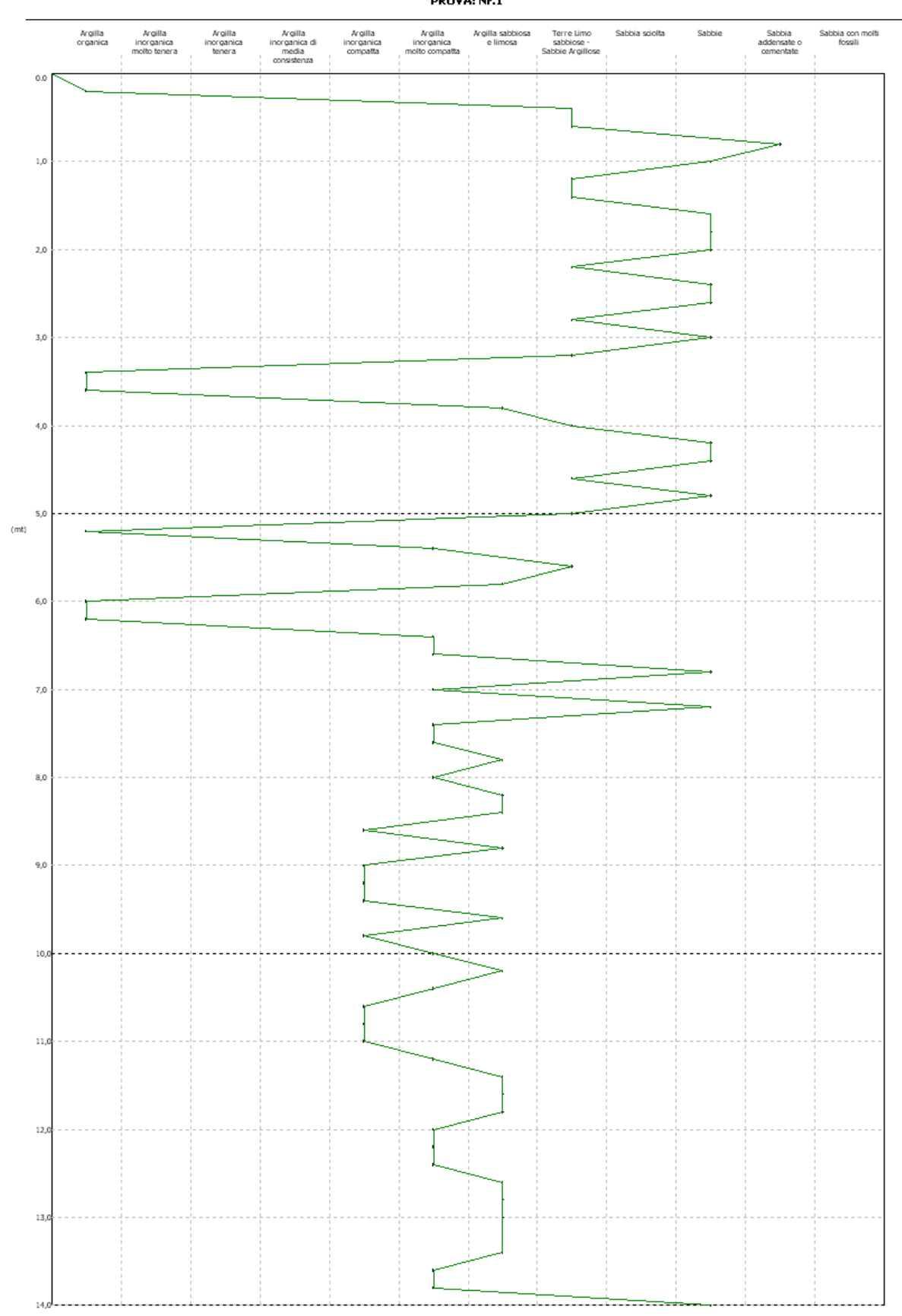
ALLEGATI ZONA SPIAGGIA N.142-143-144

GEOTECHNICS PROVE E SONDAGGI s.n.c. VIA MORGAGNI 1/B 48015 CERVIA (RA) ALLEGATO N. 1c

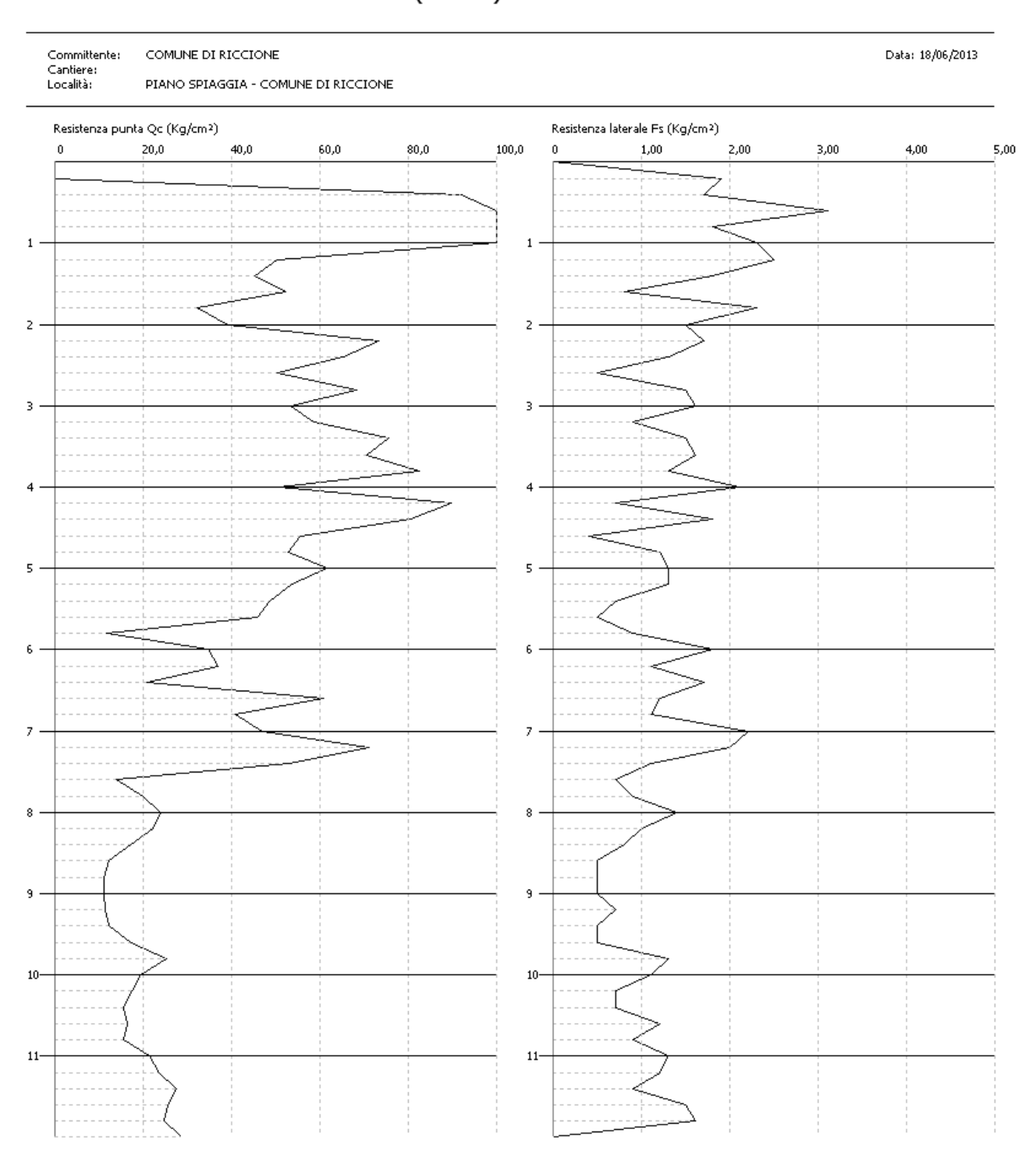
Probe CPT - Cone Penetration Nr.1 Strumento utilizzato PAGANI TG 63 (200 kN)

Committente: COMUNE DI RICCIONE Data: 18/06/2013 Cantiere: Località: PIANO SPIAGGIA - COMUNE DI RICCIONE Resistenza punta Qc (Kg/cm²) Resistenza laterale Fs (Kg/cm²) 20,0 40,0 60,0 80,0 100,0 2,00 3,00 4,00 5,00



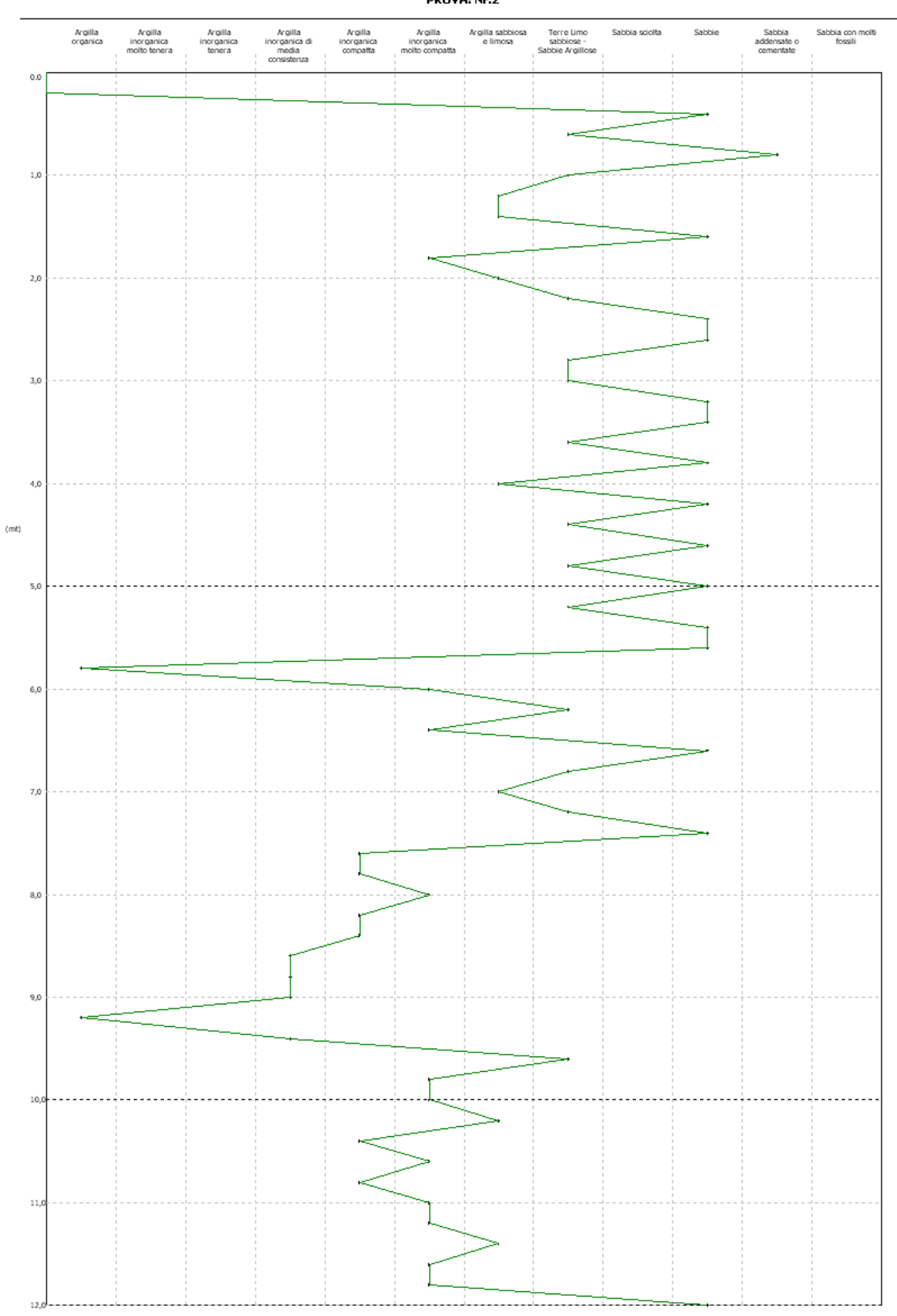


Probe CPT - Cone Penetration Nr.2 Strumento utilizzato PAGANI TG 63 (200 kN)



GEOTECHNICS PROVE E SONDAGGI s.n.o VIA MORGAGNI 1/B

GRAFICO PROFONDITA' / VALUTAZIONI LITOLOGICHE (Schmertmann 1978) PROVA: Nr.2



ALLEGATO N. 5c



CANTIERE: RICCIONE (RN)- ZONA 142

Sondaggio n.1

campione n. 1

DATA: GIUGNO 2013

profondità mt.: 2.80

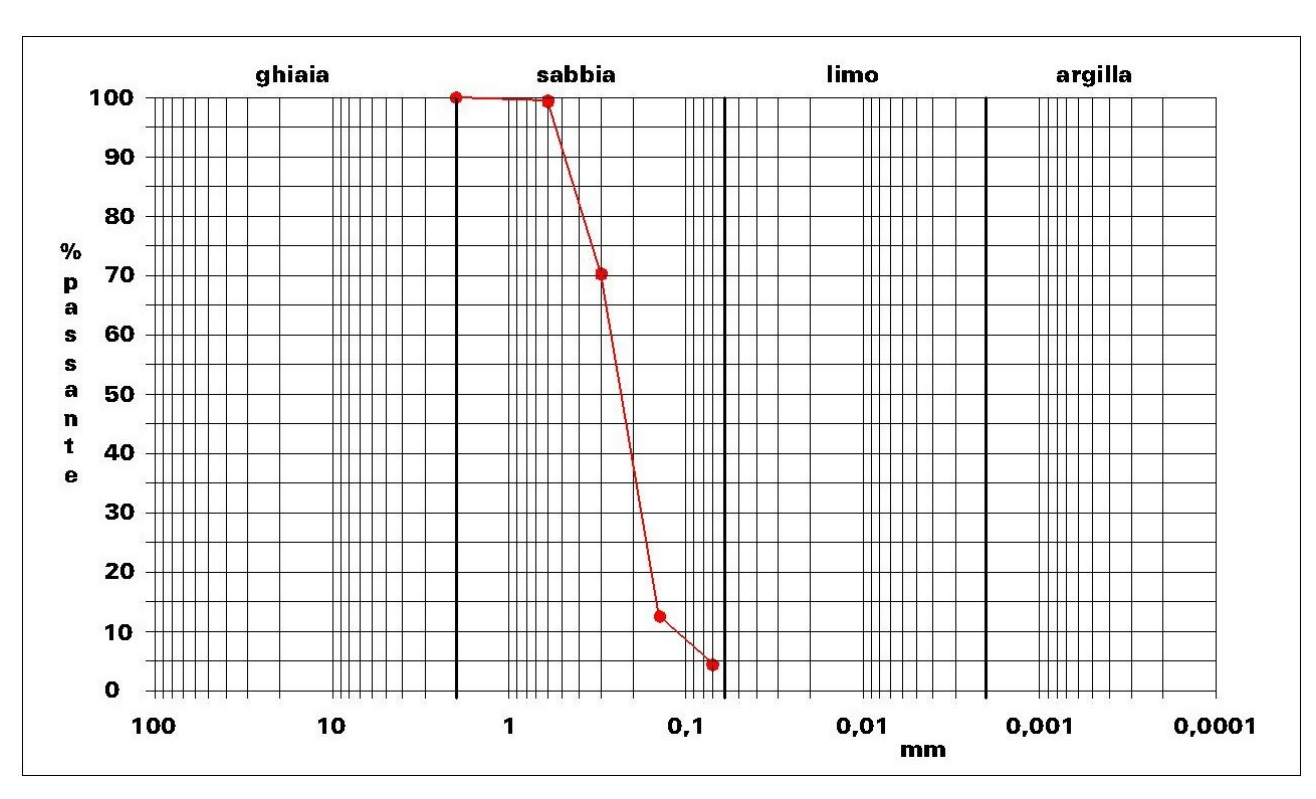
ANALISI GRANULOMETRICA

Metodo della prova: setacciatura

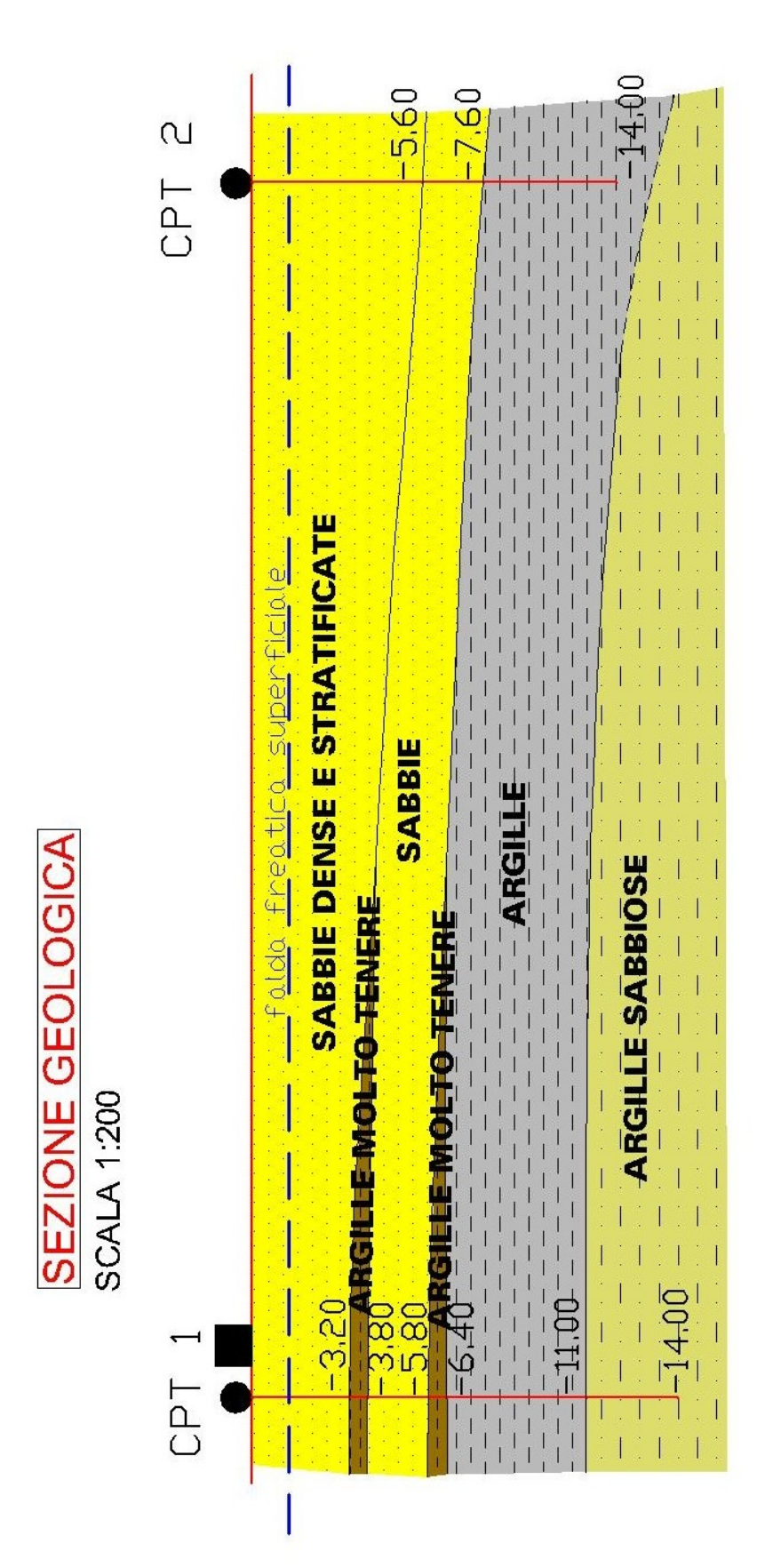
Stato del campione: disturbato Peso secco: 225.48 gr.

Setacci A.S.T.M. n.	Luce netta mm.	Passante%
10	2.000	100,00
30	0,600	97,83
50	0,300	68,44
100	0,150	12,80
200	0.075	4,70

Descrizione	Ghiaia	Sabbia	Limi
e argilla			
(Classificazione A.G.I.)	%	%	%
Sabbia	"	95,3	4.7



ALLEGATO N.6c COMUNE DI RICCIONE ZONA SPIAGGIA N. 142-143-144



■ Sondaggi penetrometrico statici CPT

Prova sismica (TRDMDGRAFD)

- — Falda freatica superficiale

CONCLUSIONI

L'area non ricade nelle situazioni a), b), c), d) come descritte dall'articolo 4.2 dell'atto di indirizzo e coordinamento tecnico ai sensi dell'art. 16, comma 1 della L.R. 20/2000.

Nelle area di espansione in oggetto non sono previsti edifici pubblici.

Per gli studi effettuati sin ora si ritiene che l'area ricade nella seconda fase per cui non necessita di ulteriori indagini specifiche.

Si esprime parere favorevole, da un punto di vista geologico, alla realizzazione della IV Variante del Piano dell'Arenile.

In fase di progettazione esecutiva degli edifici si procederà con indagini geologicogeotecniche di dettaglio in accordo alla normativa ed al D.M. LL.PP. dell'11.03.1988 e del 16.01.1996 nonché alle prescrizioni per le zone sismiche di seconda categoria (legge 02.02.74 n.64, L.R.M. 03.11.84 n.33 e successive modifiche, integrazioni e aggiornamenti.

Montefiore Conca, 24.06.2013

Dott. Geol. Giancarlo Faina